

Retificadores Controlados

Material Formatado por Anderson Soares

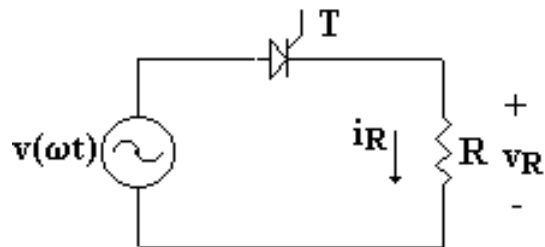
Fonte: “Eletrônica de Potência”

Prof. Dr. Ing Ivo Barbi

Prof. Dr. Leandro Michels



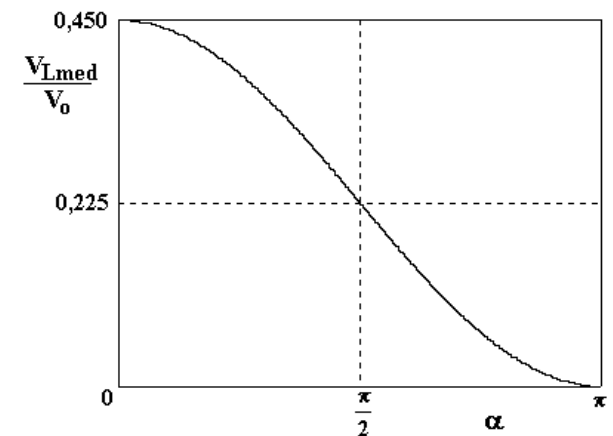
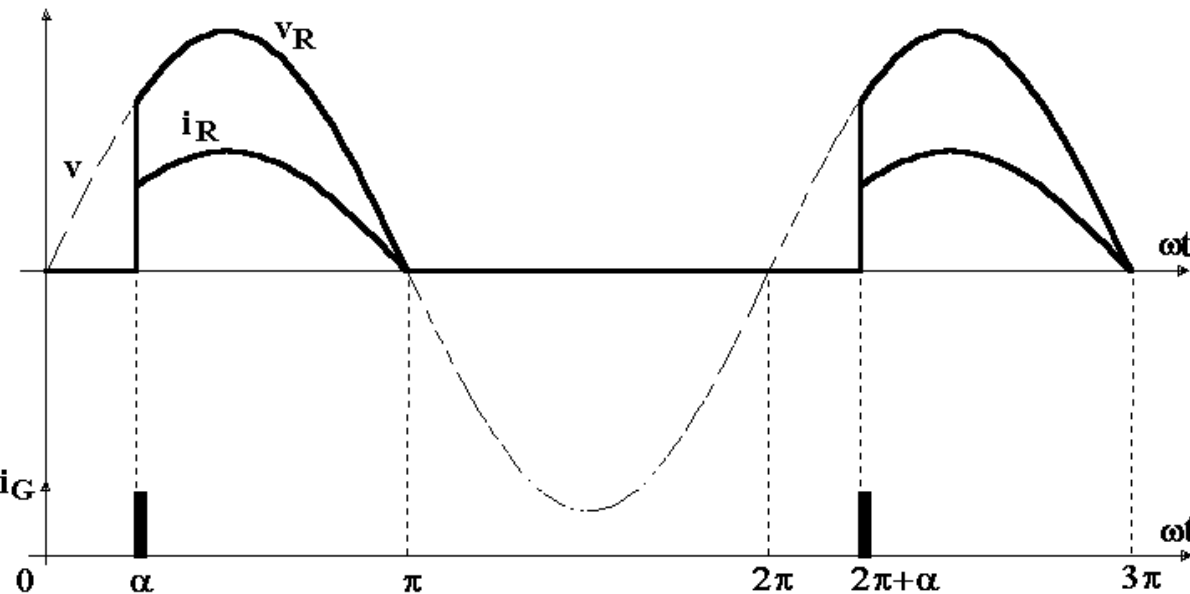
Retificador Monofásico de Meia Onda a Tiristor Carga Resistiva



$$v(\omega t) = \sqrt{2} V_o \sin(\omega t)$$

A tensão média na carga

$$V_{Lmed} = \frac{1}{2\pi} \int_{\alpha}^{\pi} \sqrt{2} V_o \sin(\omega t) d(\omega t) \cong 0,225 V_o (1 + \cos \alpha)$$

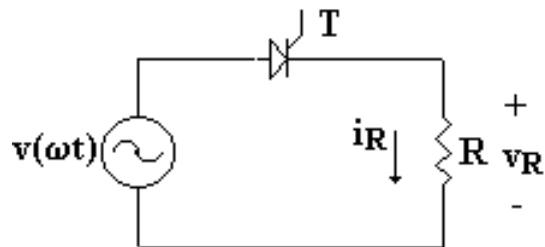


A corrente média na carga

$$I_{Lmed} = \frac{V_{Lmed}}{R} \cong \frac{0,225 V_o}{R} (1 + \cos \alpha)$$

Retificador Monofásico de Meia Onda a Tiristor

Carga Resistiva



$$v(\omega t) = \sqrt{2} V_o \sin(\omega t)$$

Corrente eficaz na Carga

$$I_{Lef} = \sqrt{\frac{1}{2\pi} \int_{\alpha}^{\pi} \left(\frac{\sqrt{2} V_o}{R} \right)^2 \sin^2(\omega t) d(\omega t)} = \frac{V_o}{R} \sqrt{\frac{1}{\pi} \int_{\alpha}^{\pi} \sin^2(\omega t) d(\omega t)}$$

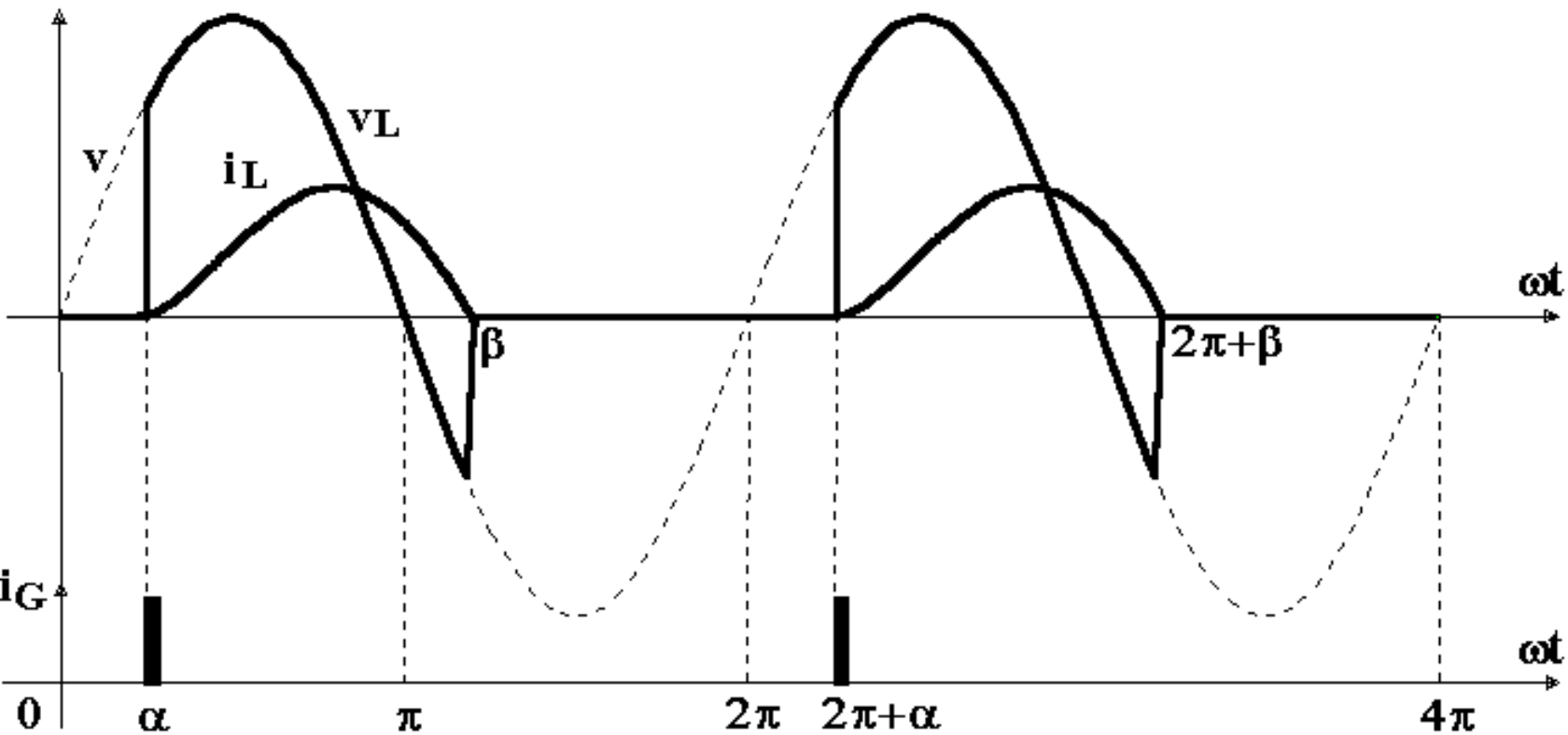
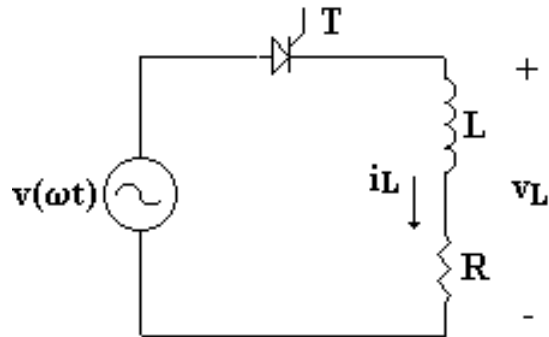
$$I_{Lef} = \frac{V_o}{R} \sqrt{\frac{1}{2} - \frac{\alpha}{2\pi} + \frac{\sin 2\alpha}{4\pi}}$$

Potência Média na Carga

$$P_R = R I_{Lef}^2 = \frac{V_o^2}{R} \left(\frac{1}{2} - \frac{\alpha}{2\pi} + \frac{\sin(2\alpha)}{4\pi} \right)$$

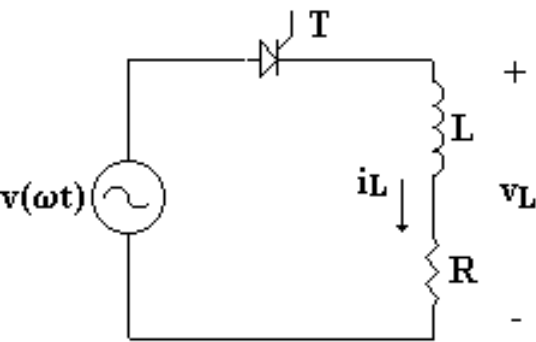
Retificador Monofásico de Meia Onda a Tiristor

Carga RL



Retificador Monofásico de Meia Onda a Tiristor

Carga RL

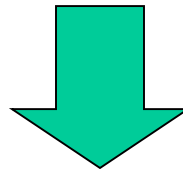


Corrente de Carga

$$v(\omega t) = R i(\omega t) + L \frac{di(\omega t)}{dt} = \sqrt{2} V_o \text{sen}(\omega t)$$

$$i(\omega t) = \frac{\sqrt{2} V_o}{\sqrt{R^2 + X^2}} \left[\text{sen}(\omega t - \phi) - \text{sen}(\alpha - \phi) \cdot e^{-t'/\zeta} \right]$$

$$X = \omega L \quad \phi = \arctan \frac{X}{R} \quad \zeta = \frac{L}{R} \quad t' = t - \frac{\alpha}{\omega}$$

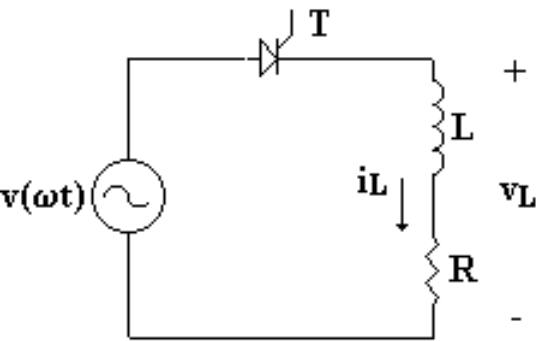


$$i_1(\omega t) = \frac{\sqrt{2} V_o}{\sqrt{R^2 + X^2}} \text{sen}(\omega t - \phi)$$



$$i_2(\omega t) = \frac{-\sqrt{2} V_o}{\sqrt{R^2 + X^2}} \text{sen}(\alpha - \phi) \cdot e^{-t'/\zeta}$$

Retificador Monofásico de Meia Onda a Tiristor Carga RL



Tensão Média na Carga (V_{Lmed})

$$V_{Lmed} = \frac{1}{2\pi} \int_{\alpha}^{\beta} \sqrt{2} V_o \sin(\omega t) d(\omega t) \cong 0,225 V_o (\cos \alpha - \cos \beta)$$

Corrente Média na Carga (I_{Lmed})

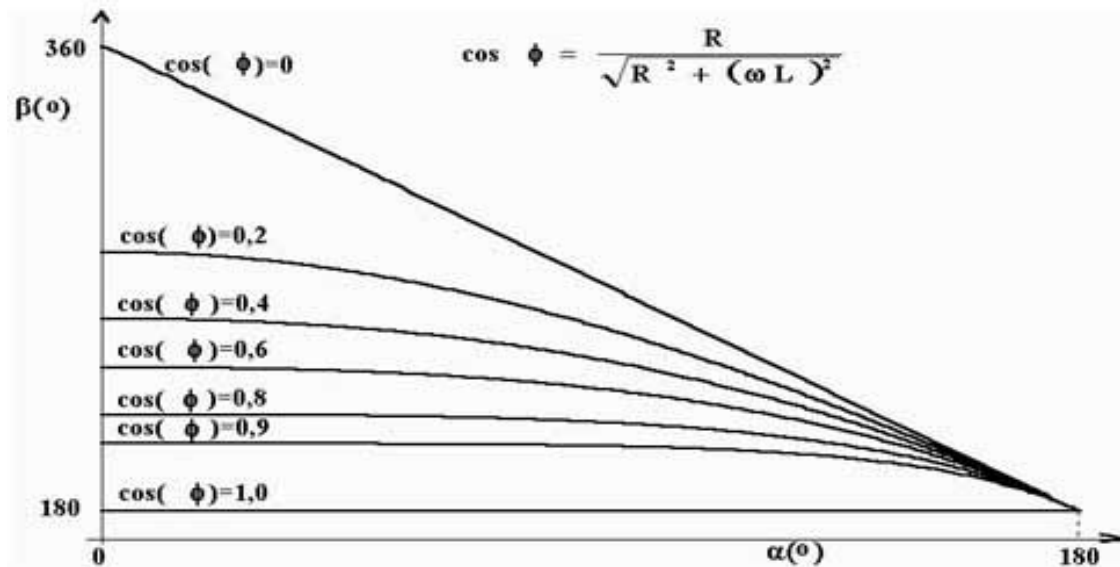
$$I_{Lmed} = \frac{V_{Lmed}}{R} \cong \frac{0,225 V_o}{R} (\cos \alpha - \cos \beta)$$

Ângulo de Extinção (β)

$$0 = \sin(\beta - \phi) - \sin(\alpha - \phi) \cdot e^{-\frac{R}{\omega L}(\beta - \alpha)}$$

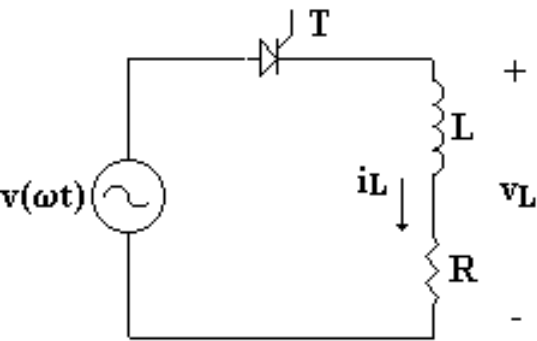
Ângulo de Condução (γ)

$$\gamma = \beta - \alpha$$



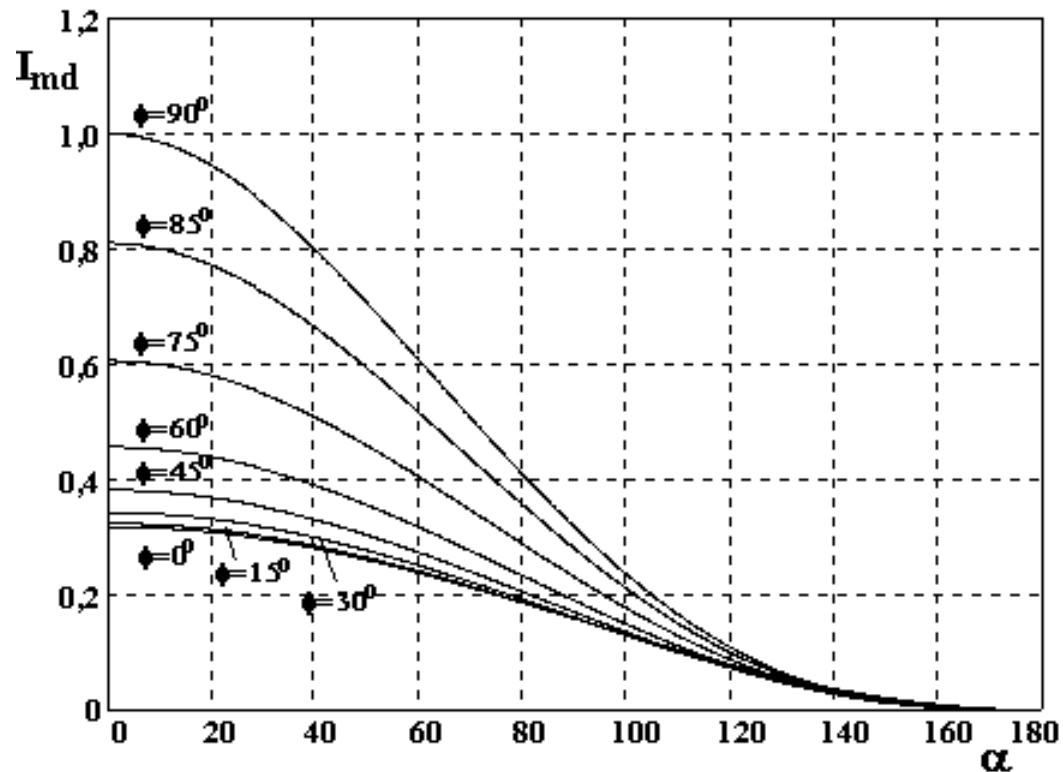
Retificador Monofásico de Meia Onda a Tiristor

Carga RL



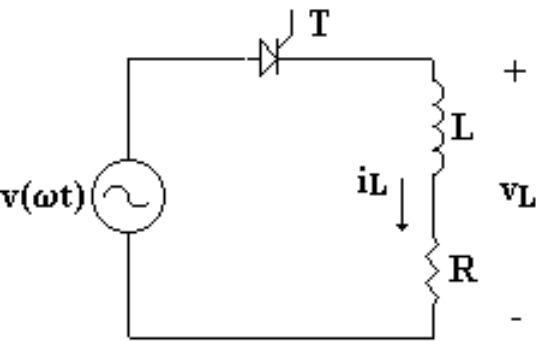
Corrente Média Normalizada (I_{md})

$$I_{md} = \frac{RI_{Lmed}}{0,225 V_o} = (\cos \alpha - \cos \beta)$$



Retificador Monofásico de Meia Onda a Tiristor

Carga RL



Corrente Eficaz na carga (I_{Lef})

$$I_{Lef} = \sqrt{\frac{1}{2\pi} \int_{\alpha}^{\beta} i(\omega t)^2 d(\omega t)}$$

$$I_{Lef} = \sqrt{\frac{1}{2\pi} \int_{\alpha}^{\beta} \left\{ \frac{\sqrt{2} V_o}{\sqrt{R^2 + X^2}} \left[\sin(\omega t - \phi) - \sin(\alpha - \phi) \cdot e^{-\frac{R}{\omega L}(\omega t - \alpha)} \right] \right\}^2 d(\omega t)}$$

Corrente Eficaz Normalizada na carga (I_{ef})

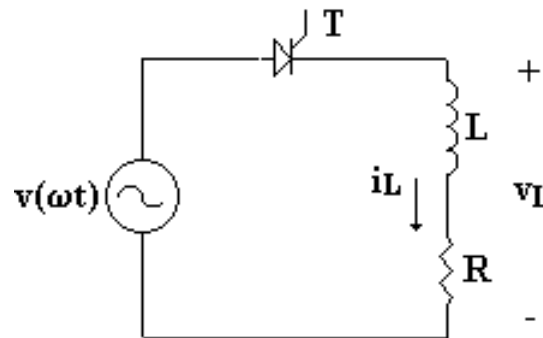
$$I_{ef} = \frac{\sqrt{R^2 + X^2} I_{Lef}}{\sqrt{2} V_o} = \sqrt{\frac{1}{2\pi} \int_{\alpha}^{\beta} \left[\sin(\omega t - \phi) - \sin(\alpha - \phi) \cdot e^{-\frac{R}{\omega L}(\omega t - \alpha)} \right]^2 d(\omega t)}$$



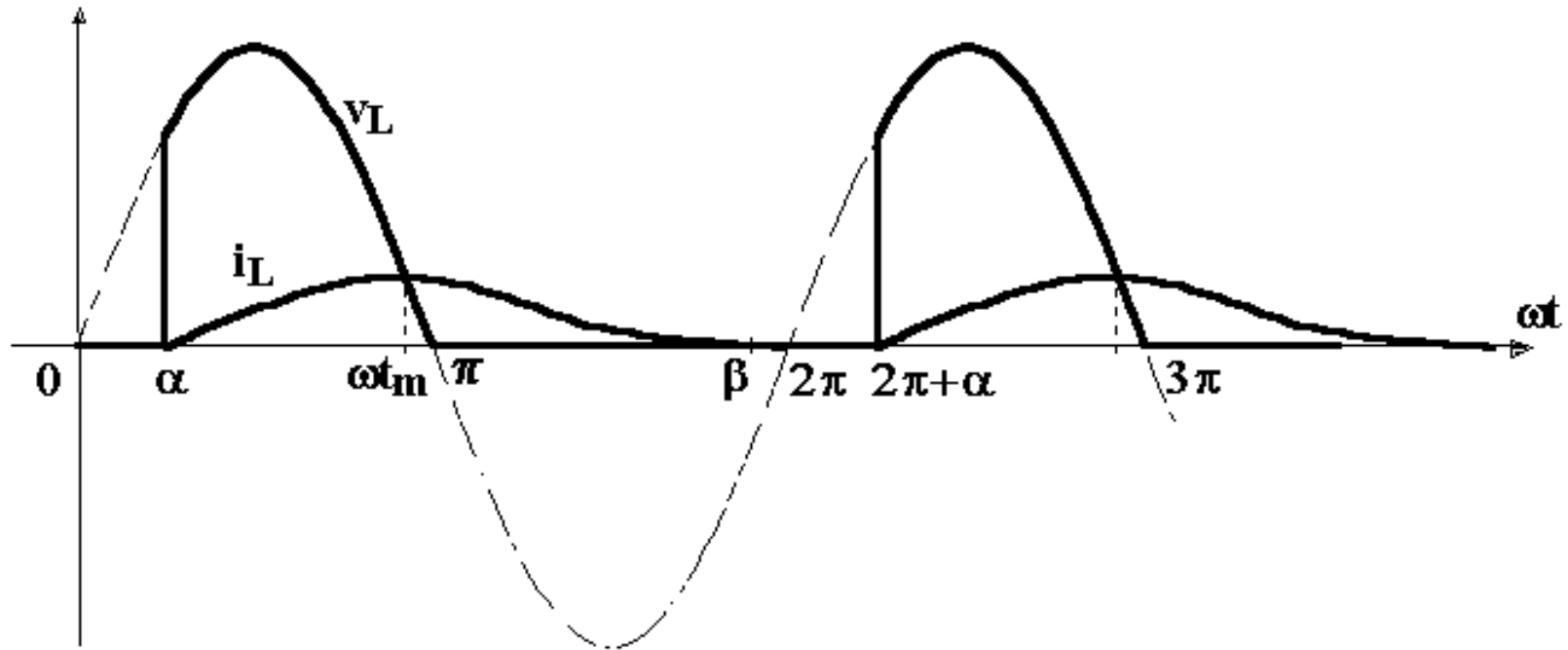
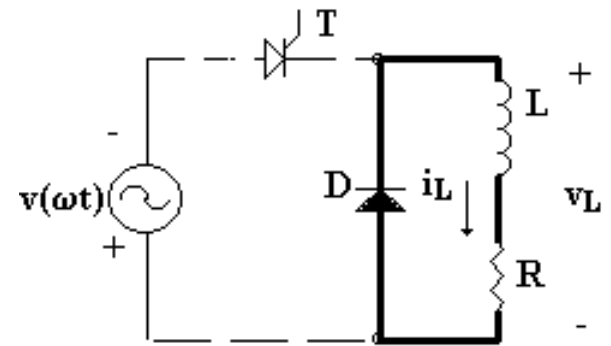
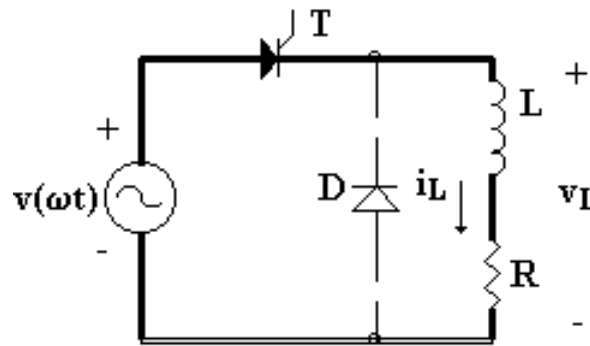
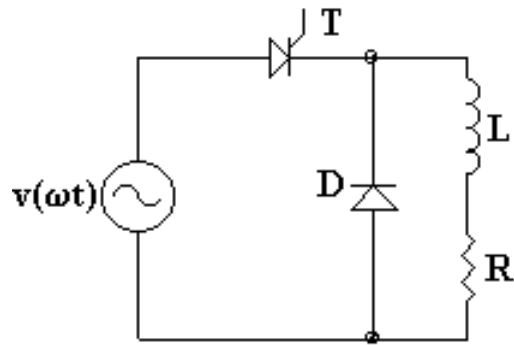
Exemplo 01

Seja o retificador monofásico controlado de meia-onda carga RL, conforme mostra o circuito abaixo. Onde: $L = 100\text{mH}$, $R = 100\Omega$, $v(\omega t) = 311\text{sen}(\omega t)$ e $\alpha = 40^\circ$. Determine:

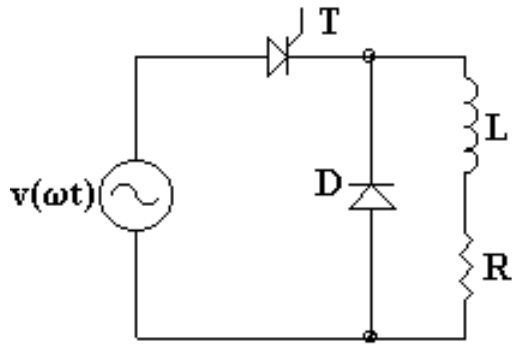
- Tensão média na carga
- Corrente média na carga
- Ângulo de extinção (β)
- Corrente eficaz na carga
- Represente graficamente a tensão e corrente aplicada a carga. Dê ênfase ao ângulo de extinção β .



Retificador Monofásico de Meia Onda a Tiristor Carga com Diodo de Roda Livre



Retificador Monofásico de Meia Onda a Tiristor Carga com Diodo de Roda Livre



$$di(\omega t)/d(\omega t) = 0$$

$$v_i(\omega t) = 0$$

$$v(\omega t) = v_R(\omega t) + v_i(\omega t) = R \cdot i(\omega t) + L \cdot di(\omega t)/d(\omega t)$$

$$v(\omega t_m) = v_R(\omega t_m)$$

Tensão média na carga

$$V_{Lmed} = \frac{1}{2\pi} \int_{\alpha}^{\pi} \sqrt{2} V_o \sin(\omega t) d(\omega t) = 0,225 V_o (1 + \cos \alpha)$$

Corrente média na carga

$$i_1(\omega t) = \frac{\sqrt{2} V_o}{\sqrt{R^2 + X^2}} \left[\sin(\omega t - \phi) - \sin(\alpha - \phi) \cdot e^{-t'/\zeta} \right] \quad \text{Intervalo } (\alpha \text{ à } \pi)$$

$$t' = t - \frac{\alpha}{\omega} \quad \zeta = \frac{L}{R}$$

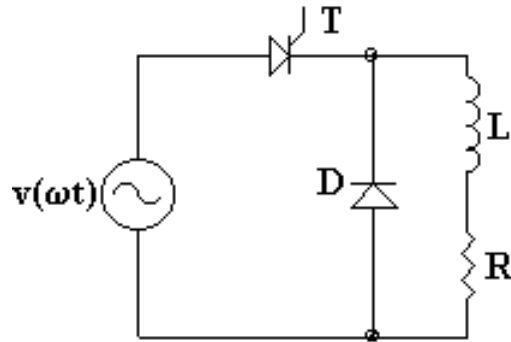
$$i_2(\omega t) = I_1 \cdot e^{-t''/\zeta} \quad t'' = t - \frac{\pi}{\omega} \quad \text{Intervalo } (\pi \text{ à } \beta (\pi + 5\sigma))$$

$$i_2(\omega t) = \frac{\sqrt{2} V_o}{\sqrt{R^2 + X^2}} \left[\sin(\pi - \phi) - \sin(\alpha - \phi) \cdot e^{-\frac{(\pi - \alpha)}{\omega \zeta}} \right] \cdot e^{-\frac{(t - \pi/\omega)}{\zeta}}$$

Exemplo 02

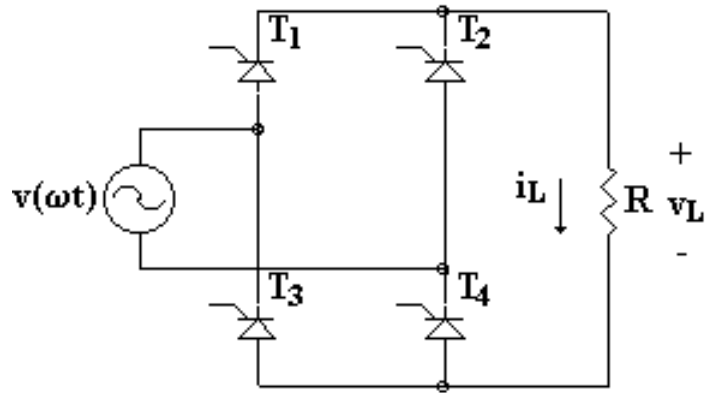
Seja o retificador monofásico controlado de meia-onda carga RL, conforme mostra o circuito abaixo. Onde: $L = 100\text{mH}$, $R = 100\Omega$, $v(\omega t) = 311\text{sen}(\omega t)$ e $\alpha = 40^\circ$. Determine:

- Tensão média na carga
- Corrente média na carga
- Ângulo de extinção (β)
- Represente graficamente a tensão e corrente aplicada a carga. Dê ênfase ao ângulo de extinção β .

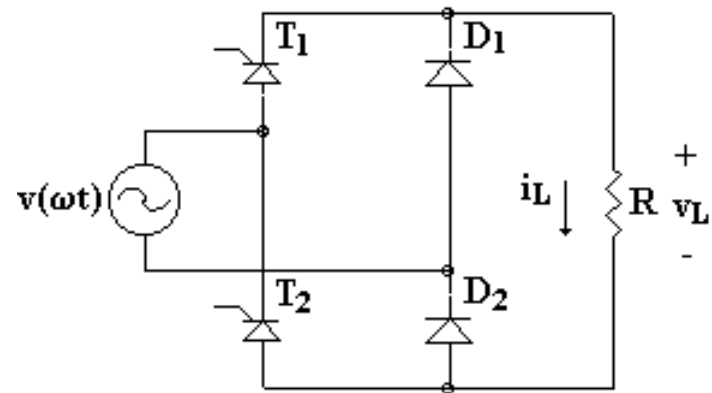
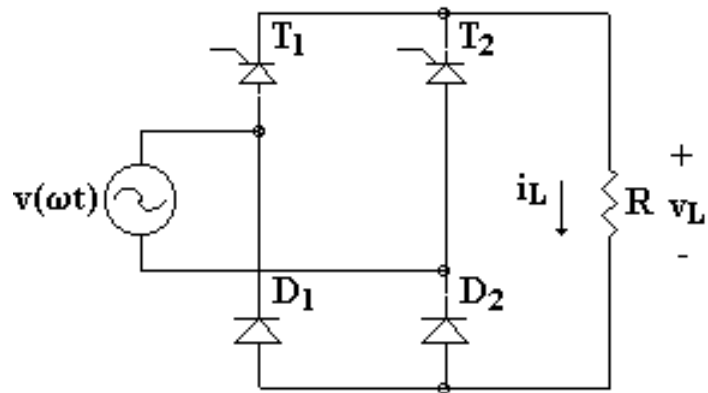


Retificador Monofásico de Onda Completa a Tiristor

A) Ponte Completa

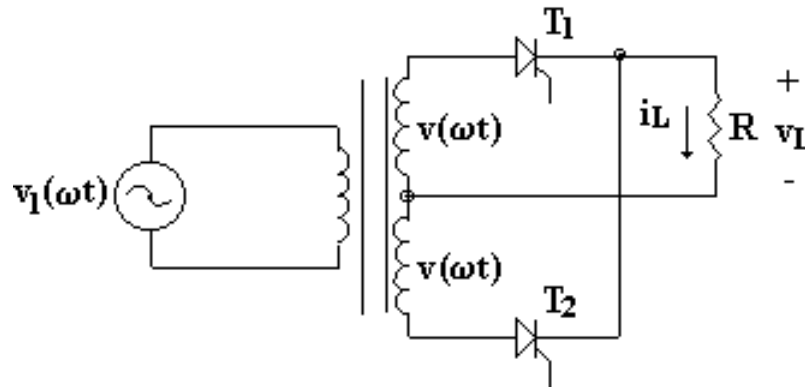


B) Ponte Mista



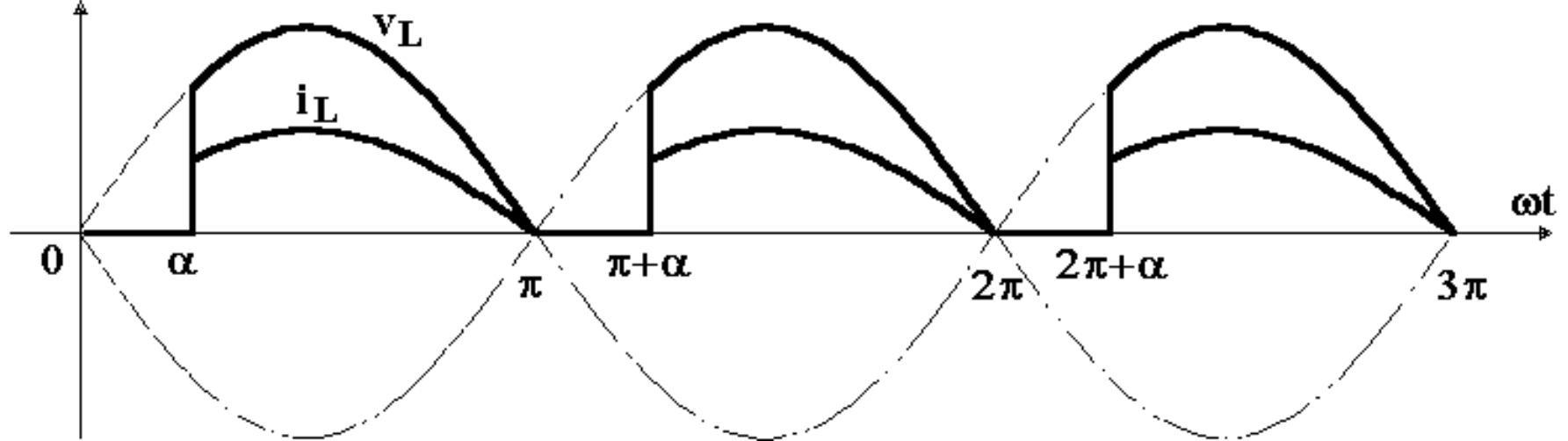
Retificador Monofásico de Onda Completa a Tiristor

C) Retificador Com Ponto Médio

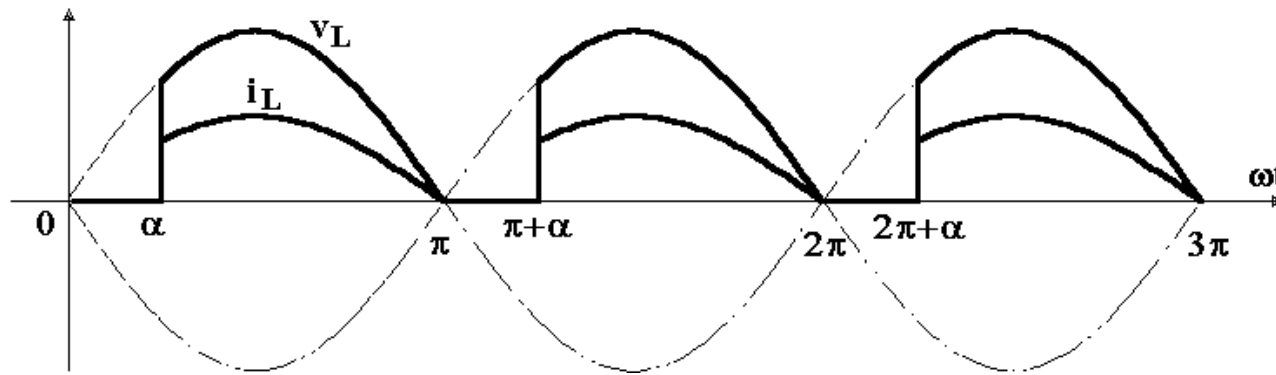


Comportamento para Cargas Resistivas

Todas as estruturas apresentam o mesmo comportamento quando alimentam carga resistiva.



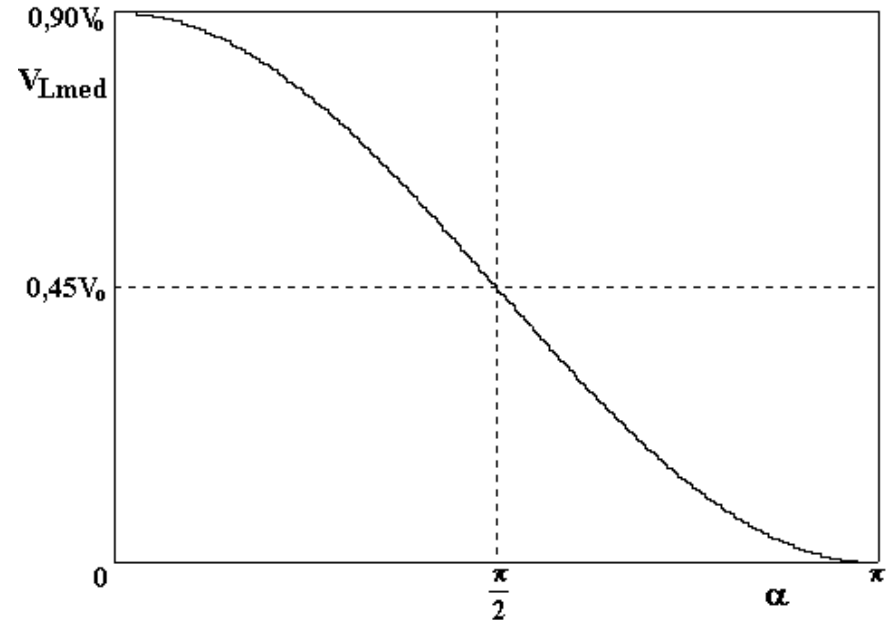
Retificador Monofásico de Onda Completa a Tiristor



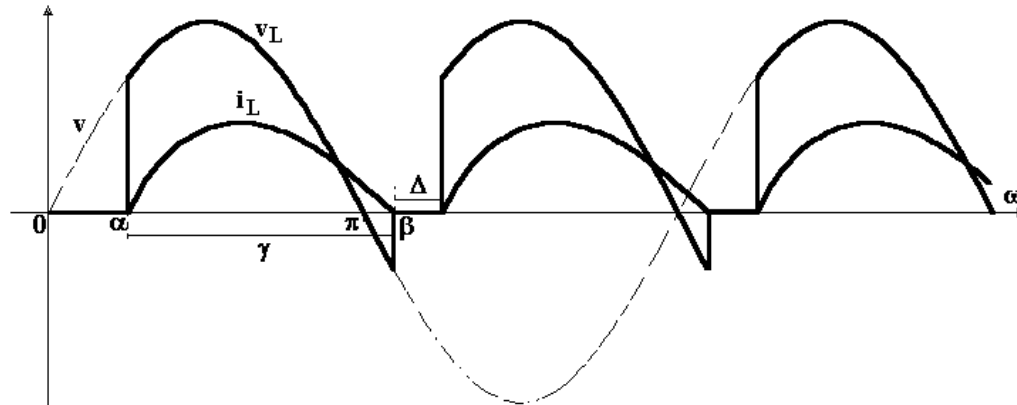
Tensão Média na Carga

$$V_{Lmed} = \frac{1}{\pi} \int_{\alpha}^{\pi} \sqrt{2} V_o \sin(\omega t) d(\omega t)$$

$$V_{Lmed} = \frac{\sqrt{2} V_o}{\pi} (1 + \cos \alpha) \cong 0,45 V_o (1 + \cos \alpha)$$



Retificador Monofásico de Ponte Completa a Tiristor com Carga RL



Tensão Média na Carga

$$V_{Lmed} = \frac{1}{\pi} \int_{\alpha}^{\beta} \sqrt{2} V_o \sin(\omega t) d(\omega t)$$

$$V_{Lmed} = 0,45 V_o (\cos \alpha - \cos \beta)$$

Corrente da Carga

$$i(\omega t) = \frac{\sqrt{2} V_o}{\sqrt{R^2 + X^2}} \left[\sin(\omega t - \phi) - \sin(\alpha - \phi) \cdot e^{-t'/\zeta} \right]$$

$$\phi = \arctan \frac{X}{R}$$

$$\zeta = \frac{L}{R}$$

$$t' = t - \frac{\alpha}{\omega}$$

Retificador Monofásico de Ponte Completa a Tiristor, carga RL, como Inversor

$$V_{Lmed} = 0.45V_o (\cos \alpha - \cos \beta)$$

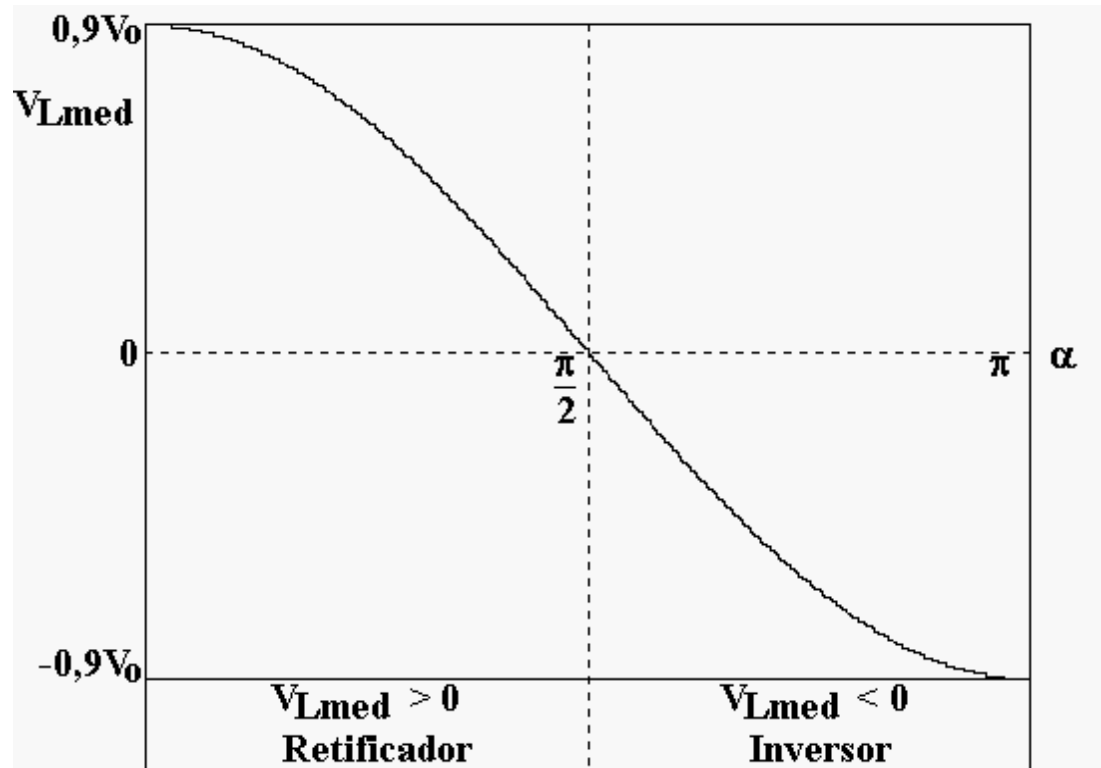
$$\beta = \pi + \alpha \quad \text{Operação contínua}$$

$$V_{Lmed} = 0.9 V_o \cos \alpha$$

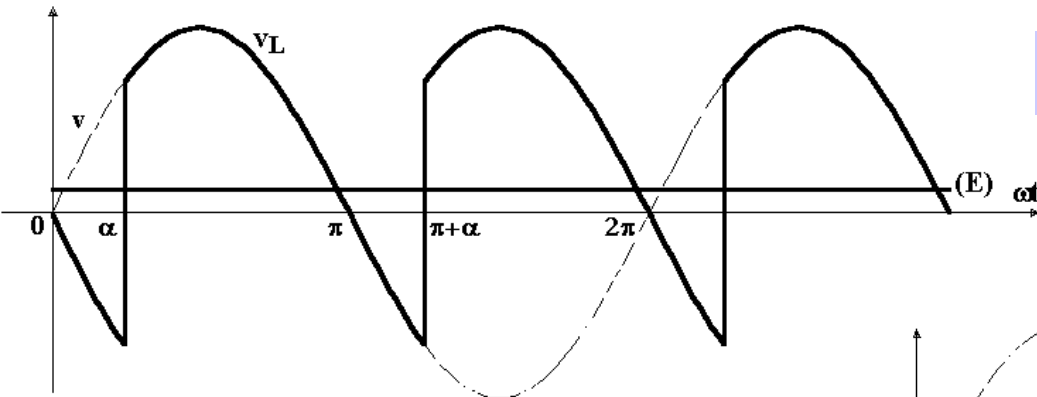
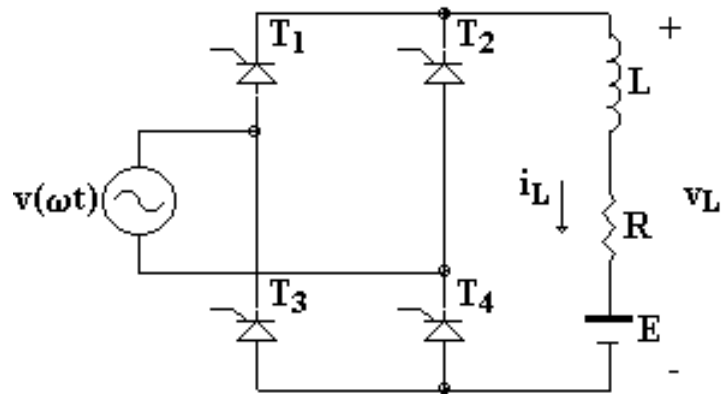
Como a corrente na carga é sempre positivo, o sentido do fluxo da potência da fonte para a carga é dada pelo valor da tensão média.

$V_{Lmed} > 0$ Retificador

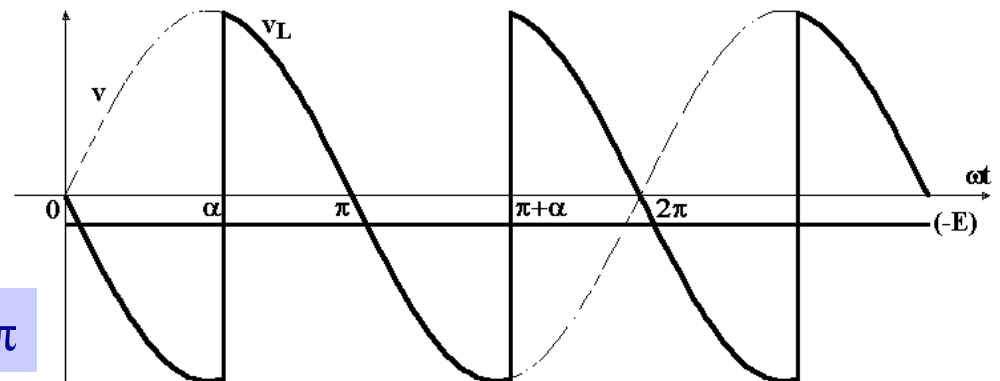
$V_{Lmed} < 0$ Inversor



Retificador Monofásico de Ponte Completa a Tiristor como Inversor com Carga RLE

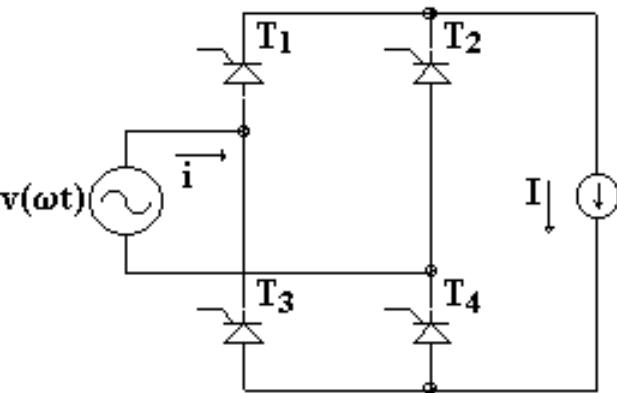


Retificador $0 < \alpha < \pi/2$



Inversor $\pi/2 < \alpha < \pi$

Retificador Monofásico de Ponte Completa a Tiristor Fator de Potência



$$\cos \phi = \cos \alpha$$

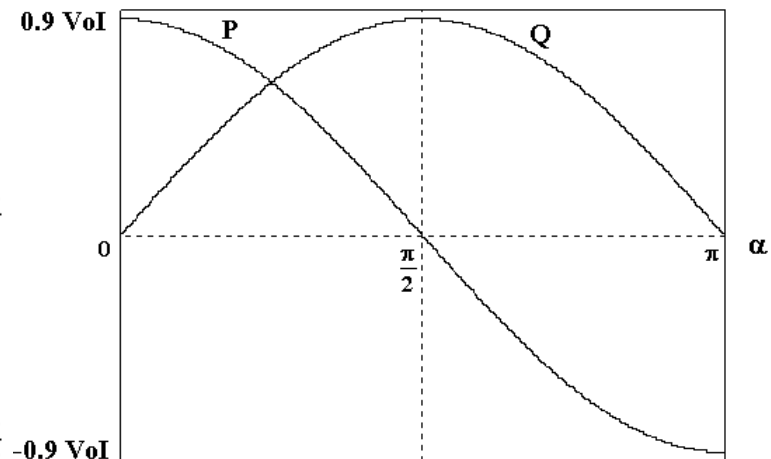
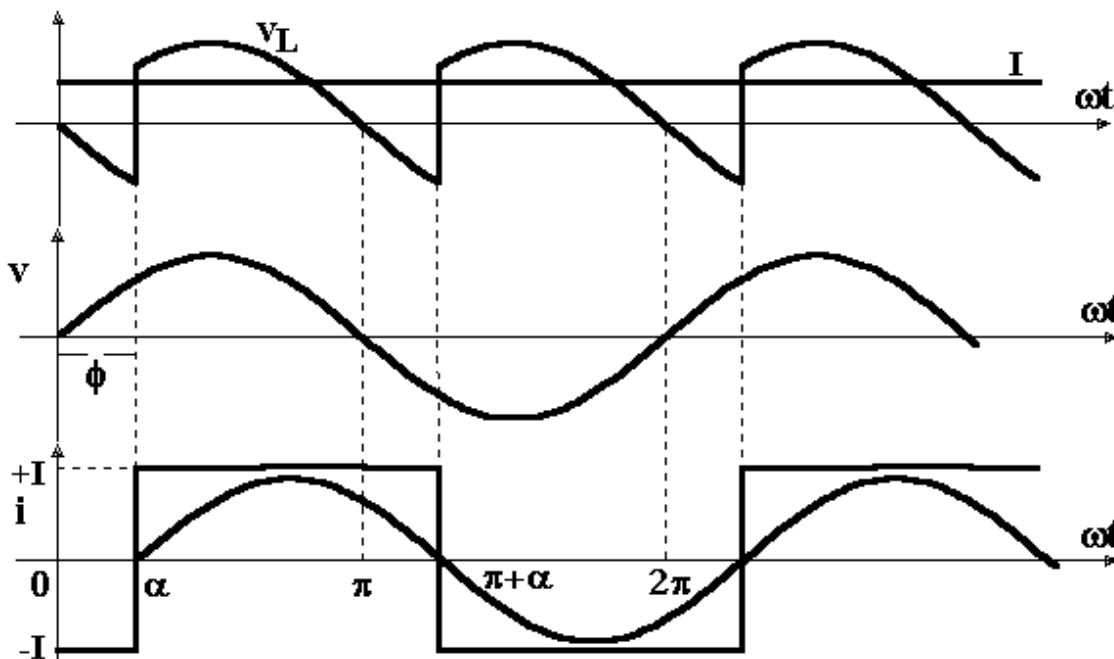
$$P = 0,9 V_o I \cos \alpha$$

$$+ \quad v_L \quad Q = 0,9 V_o I \sin \alpha$$

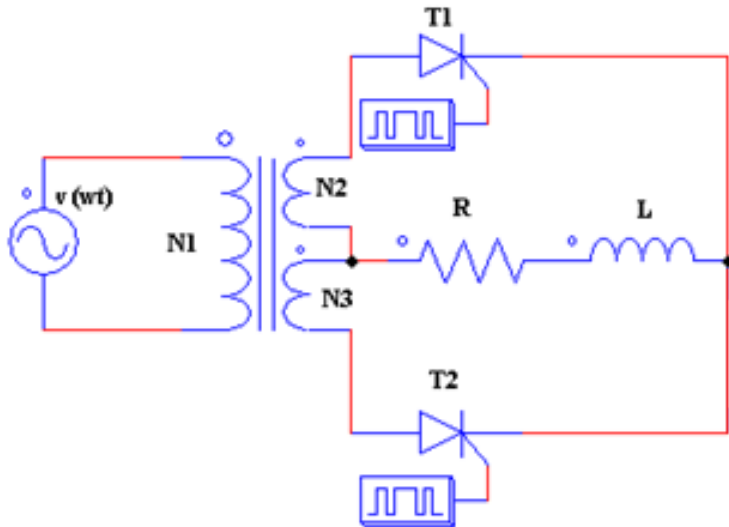
$$- \quad S_T = V_o I$$

$$FP = \frac{P}{S_T}$$

$$FP = 0,9 \cos \alpha$$

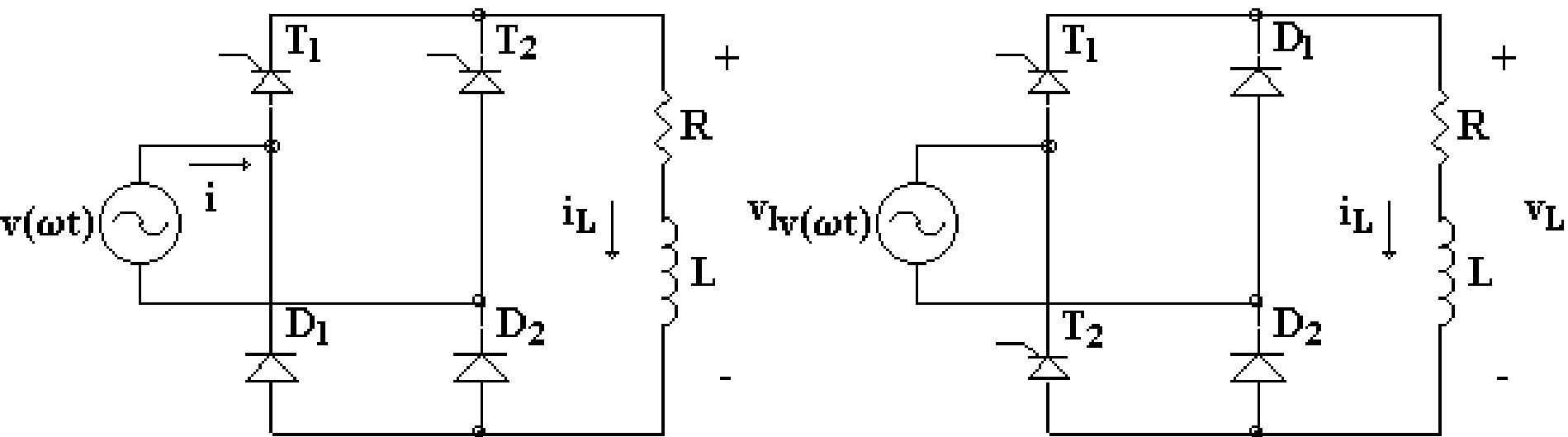


Ex. 01) O circuito é alimentado por uma fonte senoidal de 60Hz e tensão eficaz de 220V. O transformador possui em seu enrolamento primário $N_1=100$ espiras, enquanto que em $N_2= N_3= 50$ espiras. Todo o circuito alimenta uma carga do tipo RL, que possui $R= 100\Omega$ e $L= 600\text{mH}$. Desta forma, determine:

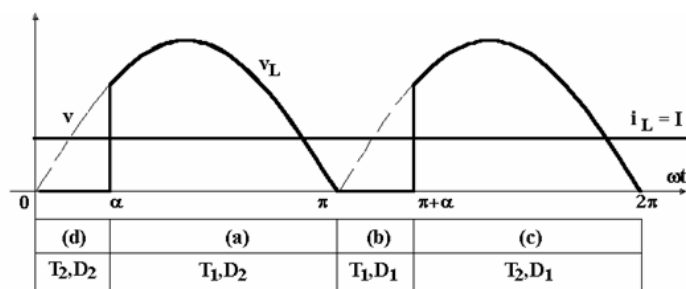
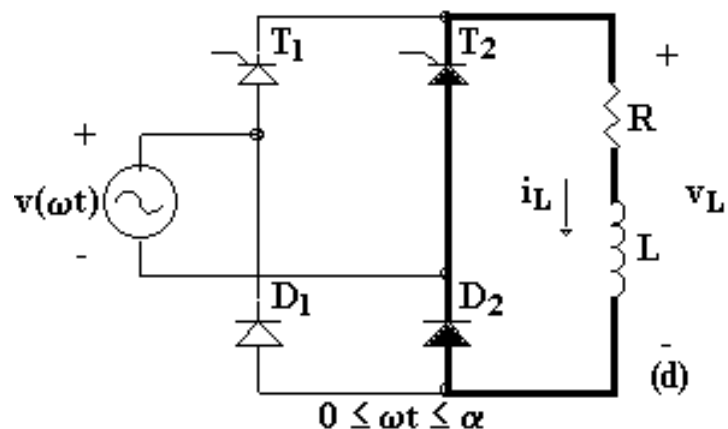
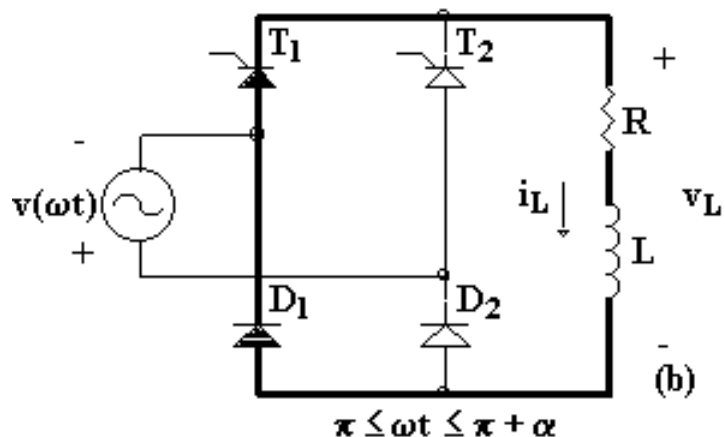
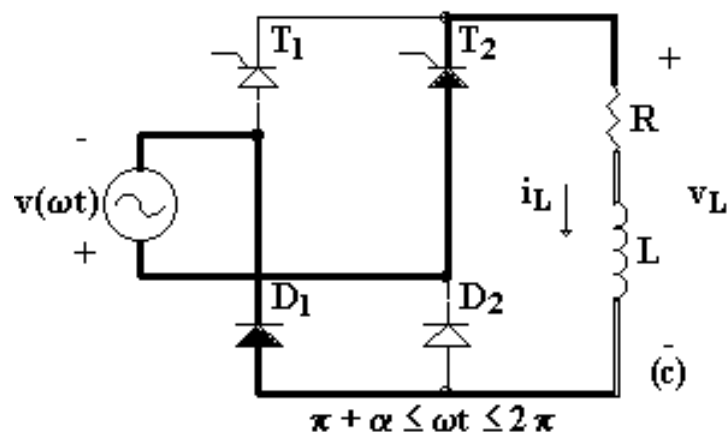
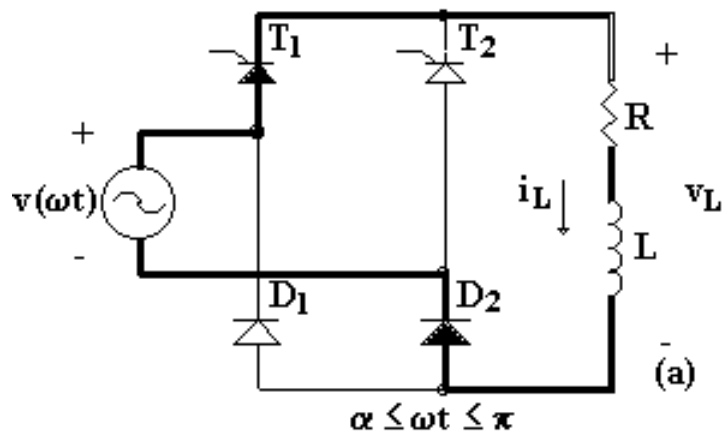


- Ângulo de extinção da corrente $\alpha= 90^\circ$, informe o modo de condução;
- Tensão e corrente média aplicada à carga, $\alpha= 90^\circ$;
- Representação da tensão e corrente aplicada à carga, $\alpha= 90^\circ$;

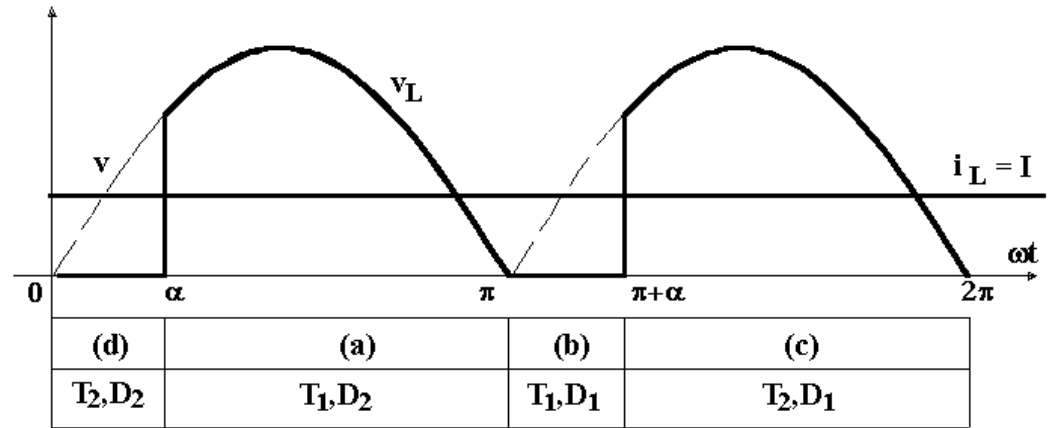
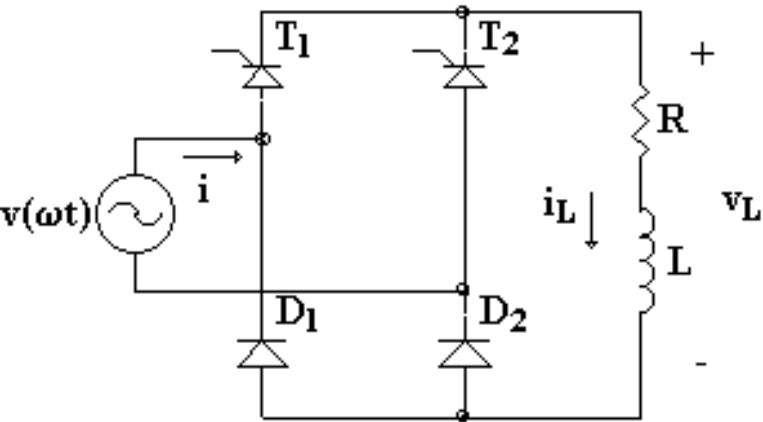
Retificador Monofásico de Ponte Mista Carga RL



Retificador Monofásico de Ponte Mista Carga RL

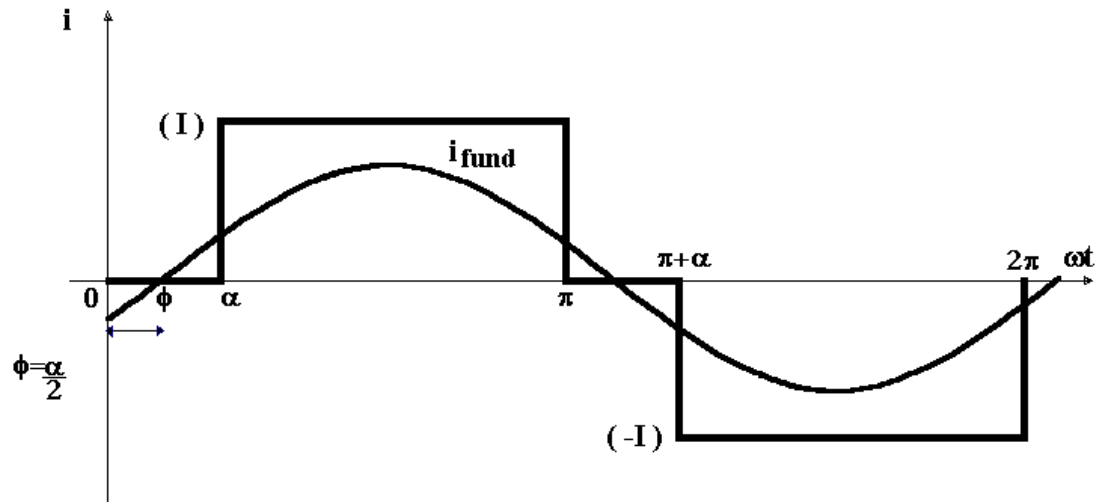


Retificador Monofásico de Ponte Mista Carga RL



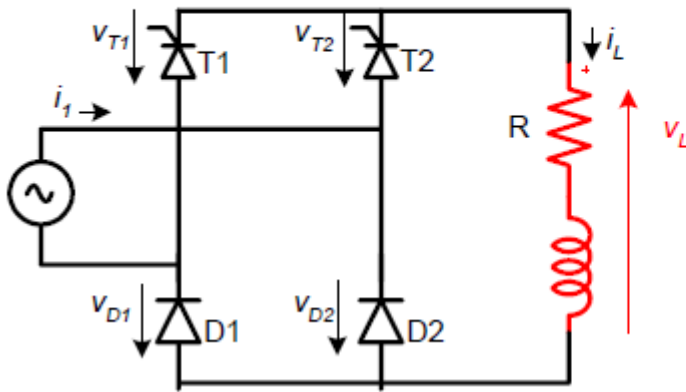
Fator de Deslocamento

$$\cos(\phi) = \cos\left(\frac{\alpha}{2}\right)$$



Retificador Monofásico de Ponte Mista Carga RL

Tensão na carga



Médio

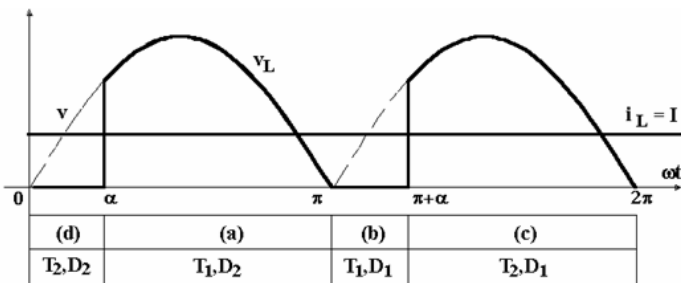
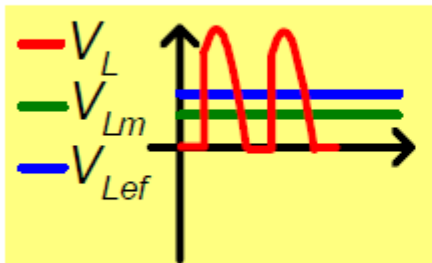
$$V_{Lmed} = \frac{1}{\pi} \int_{\alpha}^{\pi} \sqrt{2} V_o \sin(\omega t) d(\omega t)$$

$$V_{Lmed} \cong 0.45 V_o (1 + \cos(\alpha))$$

Eficaz

$$V_{Lef} = \sqrt{\frac{1}{\pi} \int_{\alpha}^{\pi} \left[\sqrt{2} V_o \sin(\omega t) \right]^2 d(\omega t)}$$

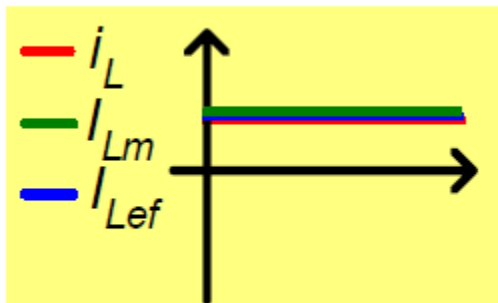
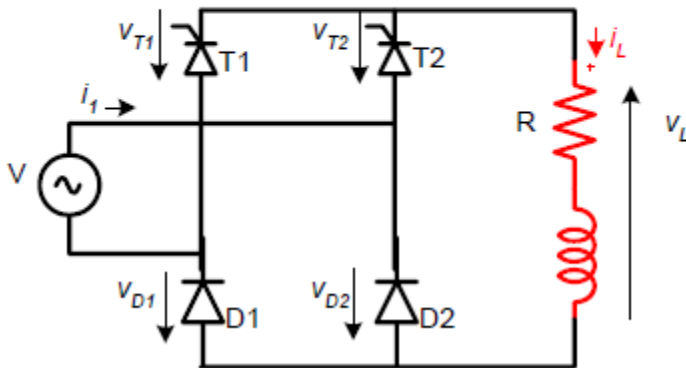
$$V_{Lef} \cong V_o \sqrt{1 - \frac{\alpha}{\pi} + \frac{\sin(2\alpha)}{2\pi}}$$



A ponte mista não funciona como inversor. A tensão média é sempre positiva.

Retificador Monofásico de Ponte Mista Carga RL

Corrente na carga



Médio

$$I_{Lmed} = \frac{1}{2\pi} \int_{\alpha}^{\pi} \sqrt{2} \frac{V_o}{R} \sin(\omega t) d(\omega t)$$

$$I_{Lmed} \cong 0.45 \frac{V_o}{R} (1 + \cos(\alpha))$$

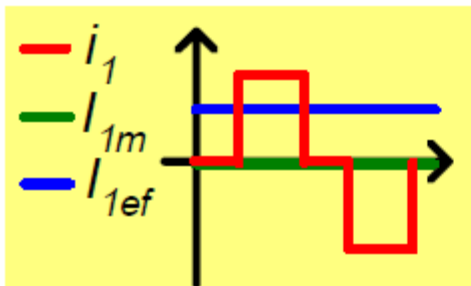
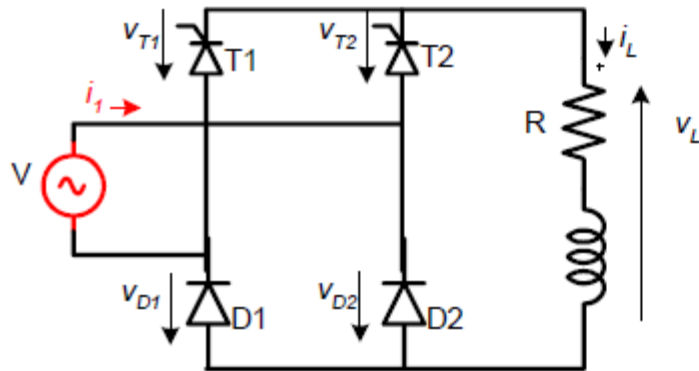
Eficaz CARGA R

$$I_{Lef} = \sqrt{\frac{1}{2\pi} \int_{\alpha}^{\pi} \left[\sqrt{2} \frac{V_o}{R} \sin(\omega t) \right]^2 d(\omega t)}$$

$$I_{Lef} \cong \frac{V_o}{R} \sqrt{1 - \frac{\alpha}{\pi} + \frac{\sin(2\alpha)}{\pi}}$$

Retificador Monofásico de Ponte Mista Carga RL

Corrente na entrada



Médio

$$I_{1med} = 0$$

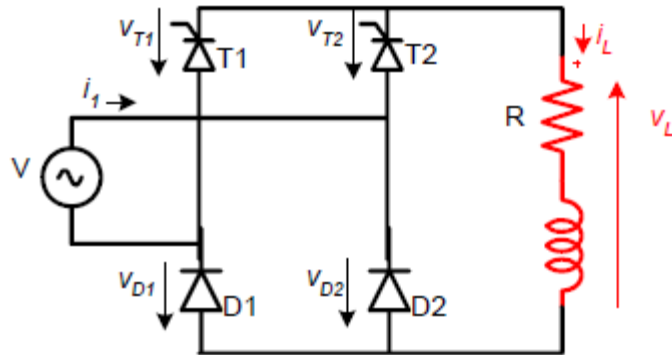
Eficaz

$$I_{1ef} = \sqrt{\frac{1}{\pi} \int_{\alpha}^{\pi} I_{Lmed}^2 d(\omega t)}$$

$$I_{1ef} \cong 0.45 \frac{V_o}{R} (1 + \cos(\alpha)) \sqrt{1 - \frac{\alpha}{\pi}}$$

Retificador Monofásico de Ponte Mista Carga RL

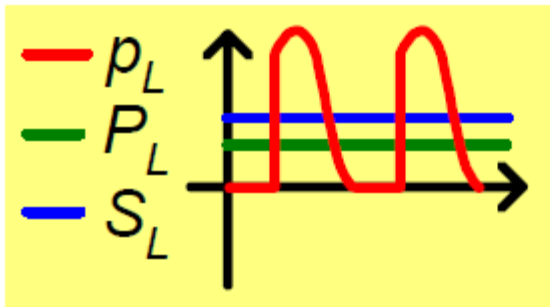
Potência na carga



Ativa

$$P_L = \int v_L(\omega t) i_L(\omega t) d\omega t$$

$$P_L \cong \frac{\sqrt{2}}{\pi} V_o I_{Lmed} (1 + \cos(\alpha))$$



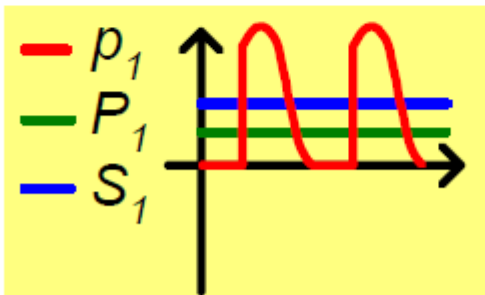
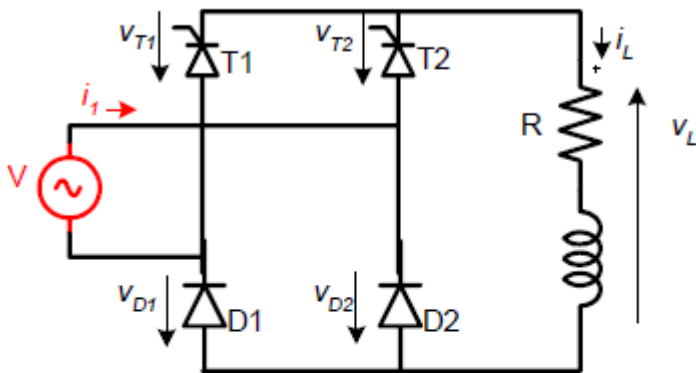
Aparente

$$S_L = V_{Lef} I_{Lef}$$

$$S_L \cong \frac{V_o^2}{R} \sqrt{1 - \frac{\alpha}{\pi} + \frac{\sin(2\alpha)}{2\pi}}$$

Retificador Monofásico de Ponte Mista Carga RL

Potência na entrada



Ativa

$$P_1 = \int v_1(\omega t) i_1(\omega t) d\omega t$$

$$P_1 \cong \frac{\sqrt{2}}{\pi} V_o I_{Lmed} (1 + \cos(\alpha))$$

Aparente

$$S_1 = V_{1ef} I_{1ef}$$

$$S_1 \cong V_o I_{Lmed} \sqrt{1 - \frac{\alpha}{\pi}}$$

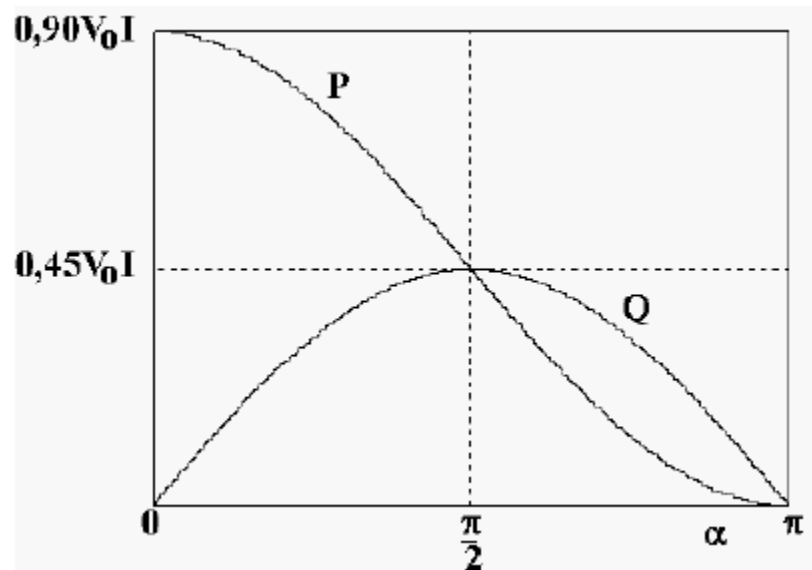
Fator de potência

$$PF = \frac{P}{S}$$

$$PF = \frac{\frac{\sqrt{2}}{\pi} V_o I_{Lmed} (1 + \cos(\alpha))}{V_o I_{Lmed} \sqrt{1 - \frac{\alpha}{\pi}}}$$

$$PF = \frac{\sqrt{2} (1 + \cos(\alpha))}{\sqrt{\pi(\pi - \alpha)}}$$

Potência ativa (P) e reativa (Q) em função de α

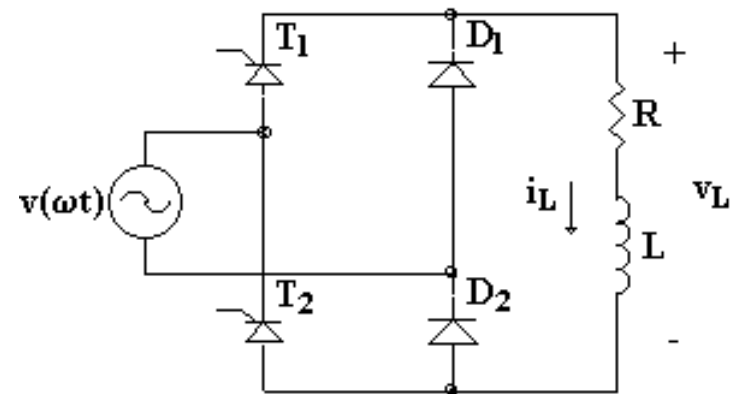


Retificador Monofásico de Ponte Mista Carga RL

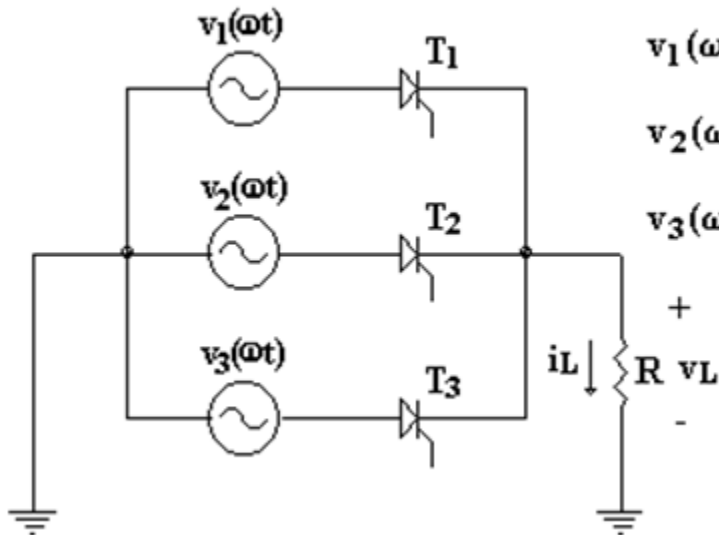
Um retificador monofásico em ponte mista, como mostra abaixo e $f=60\text{Hz}$, $V_o=220\text{V}$, $I_{LMED}=10\text{A}$ e $\alpha=40^\circ$.

Determine:

- a) Tensão média na carga;
- b) Potência média transferida na carga;
- c) Fator de deslocamento;
- d) Corrente eficaz total de entrada;
- e) Fator de potência da corrente de entrada.
- f) Análise qualitativa
- g) Formas de ondas da tensão e corrente na carga, corrente na entrada



Retificador Trifásico a Ponto Médio com Tiristor



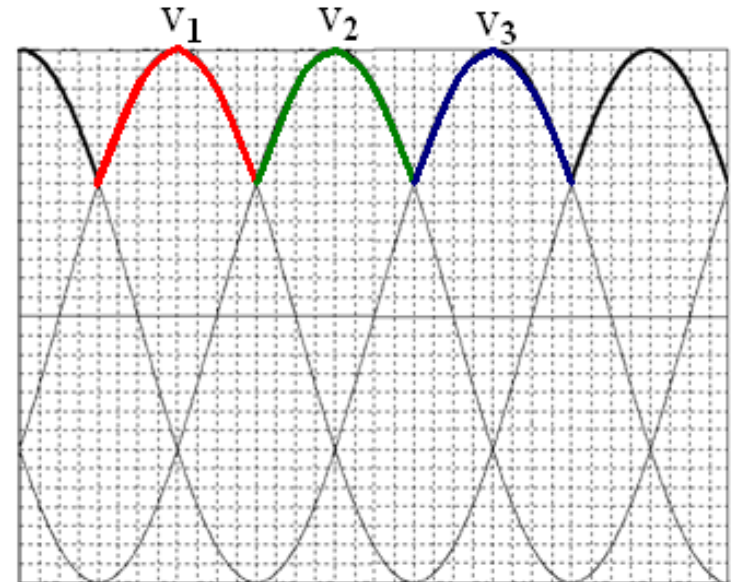
$$v_1(\omega t) = \sqrt{2} V_o \sin(\omega t)$$

$$v_2(\omega t) = \sqrt{2} V_o \sin(\omega t - 120^\circ)$$

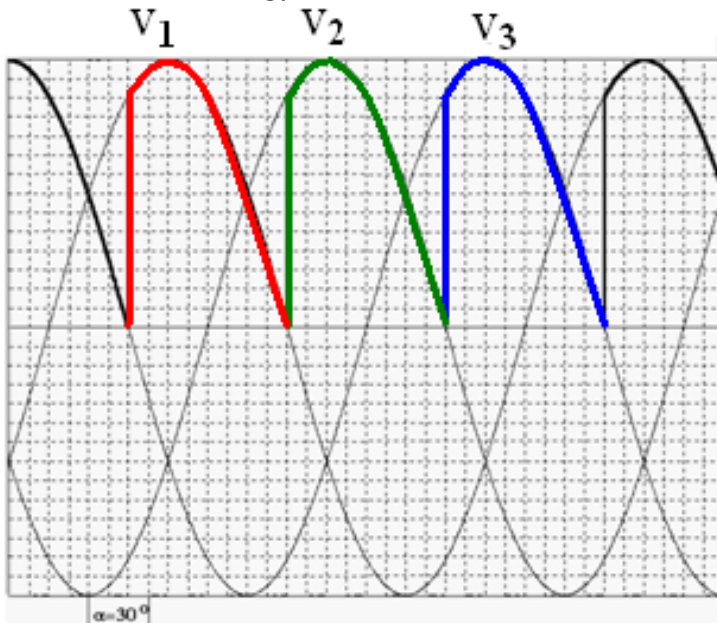
$$v_3(\omega t) = \sqrt{2} V_o \sin(\omega t + 120^\circ)$$

Condução Contínua $0 < \alpha < \pi/6$

$\alpha = 0^\circ$



$\alpha = 30^\circ$



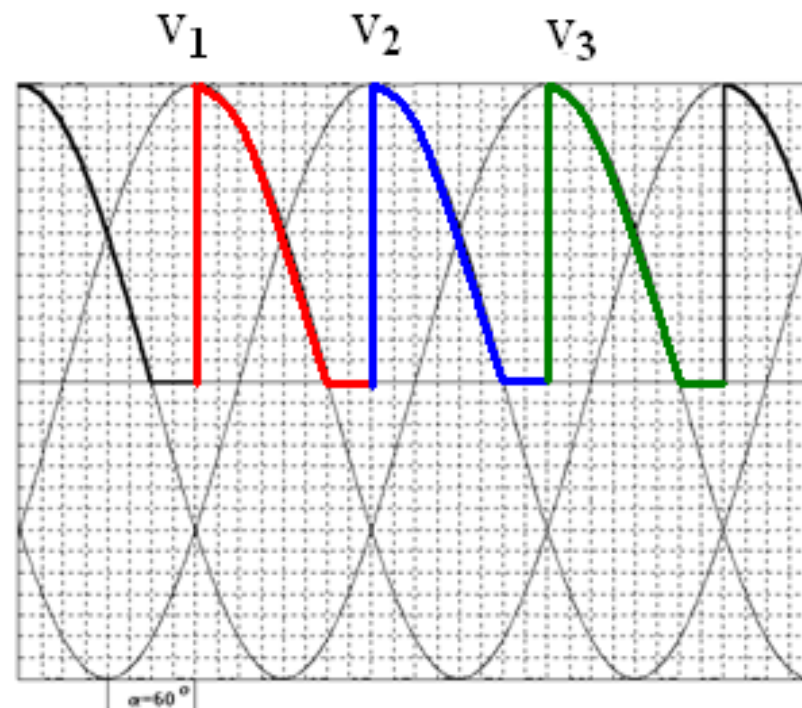
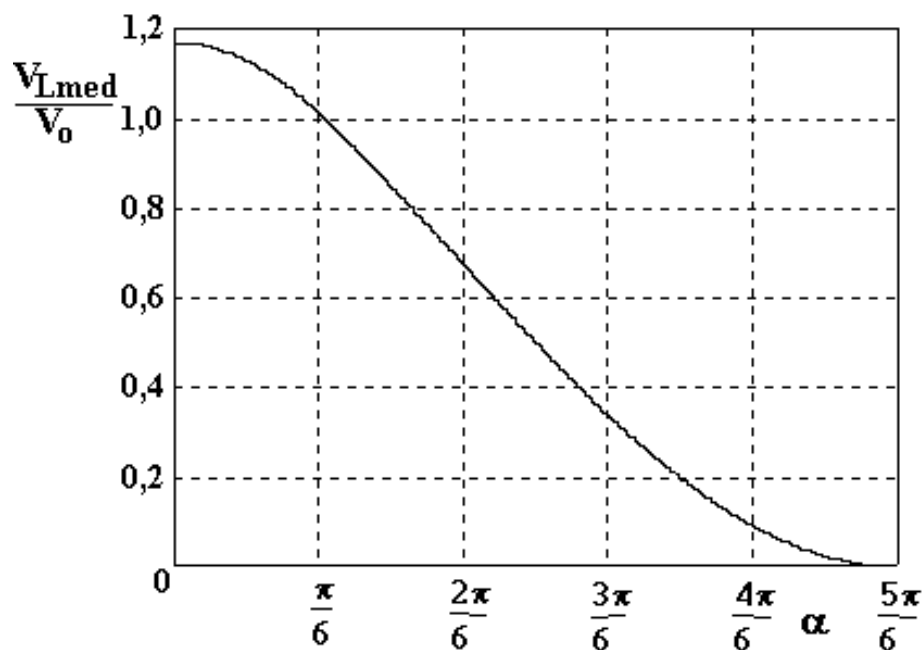
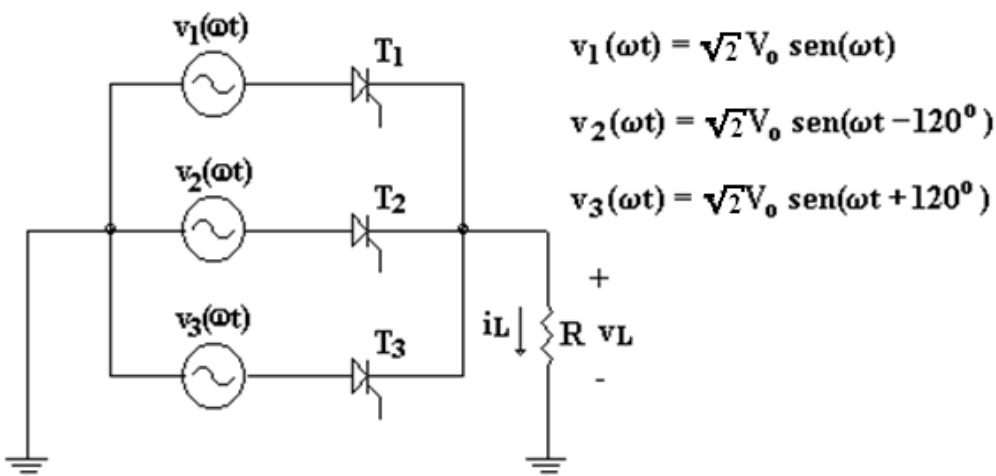
$$V_{Lmed} = \frac{3}{2\pi} \int_{\frac{\pi}{6} + \alpha}^{\frac{5\pi}{6} + \alpha} \sqrt{2} V_o \sin(\omega t) d(\omega t)$$

$$V_{Lmed} = 1,17 V_o \cos \alpha$$

Retificador Trifásico a Ponto Médio com Tiristor

Condução Descontínua $\pi/6 < \alpha < 5\pi/6$

$\alpha = 60^\circ$



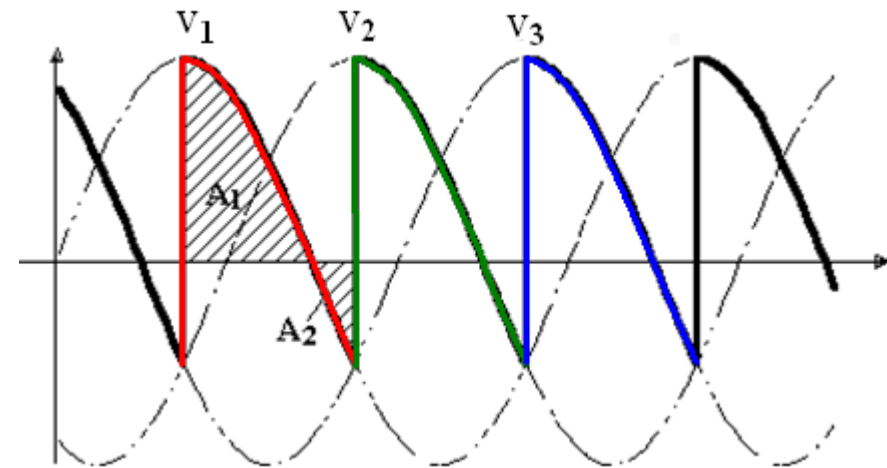
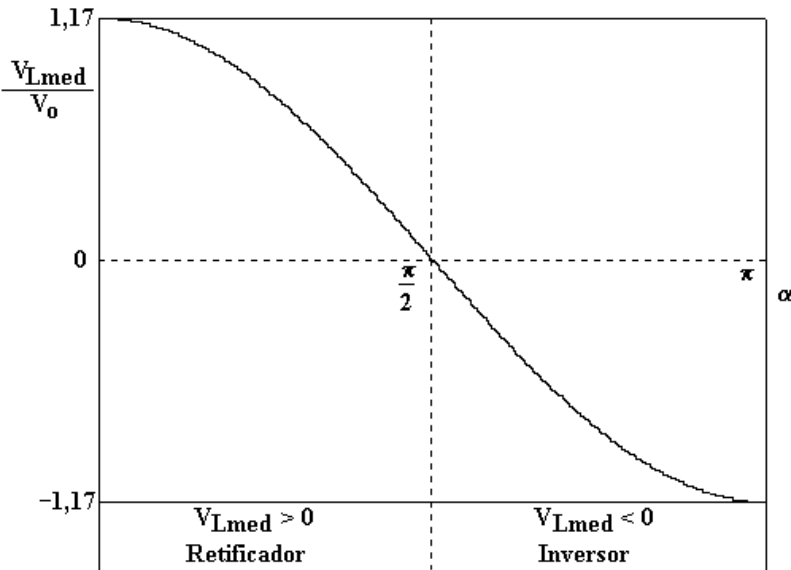
$$V_{Lmed} = \frac{3}{2\pi} \int_{\frac{\pi}{6} + \alpha}^{\pi} \sqrt{2} V_o \sin(\omega t) d(\omega t)$$

$$V_{LMED} = \frac{3\sqrt{2}}{2\pi} V_o \left[1 + \cos\left(\frac{\pi}{6} + \alpha\right) \right]$$

Retificador Trifásico a Ponto Médio com Tiristor com Carga Indutiva

Vamos considerar o caso em que a condução é contínua

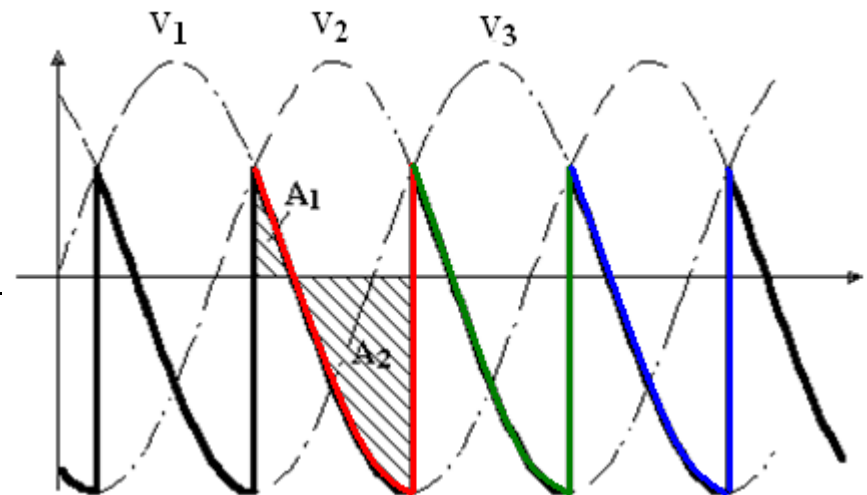
$$V_{Lmed} = 1,17 V_o \cos \alpha$$



Nº de pulsos	$\beta_{\text{crítico}}$
1	$\beta_c = 2\pi + \alpha_1$
2	$\beta_c = \pi + \alpha_1$
3	$\beta_c = \frac{2\pi}{3} + \alpha_1$
6	$\beta_c = \frac{2\pi}{6} + \alpha_1$

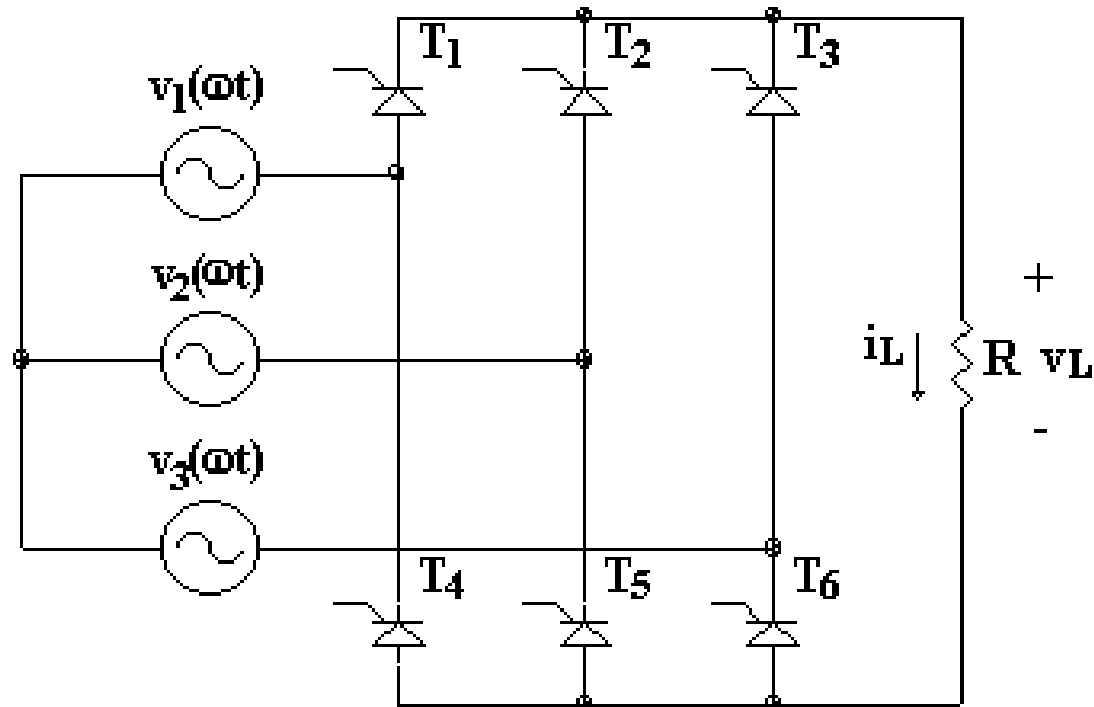
$$\beta_c = \frac{2\pi}{m} + \alpha_1$$

$$\alpha_1 = \alpha + 30^\circ$$



Retificador Trifásico Ponte de Graez com Tiristor, Carga R

TOPOLOGIA

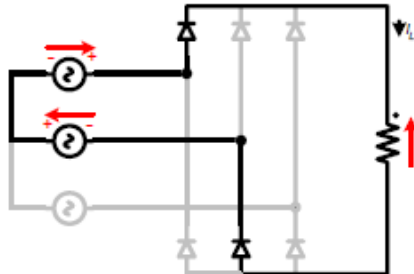


O ângulo α é contado a partir do ponto da interceptação de duas tensões da fonte, e não do cruzamento por zero

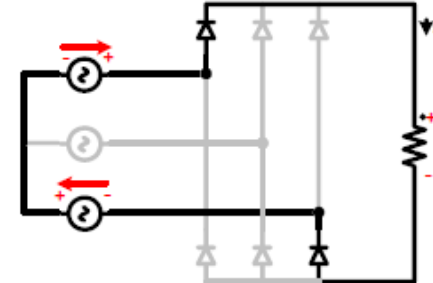
Retificador Trifásico Ponte de Graez com Tiristor, Carga R

Modo de condução contínua ($0^\circ < \alpha < 60^\circ$)

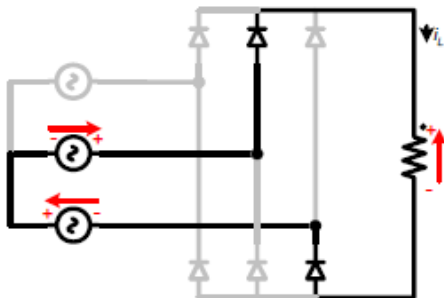
Etapa 1 $\alpha \leq \omega t < \alpha + \pi/3$



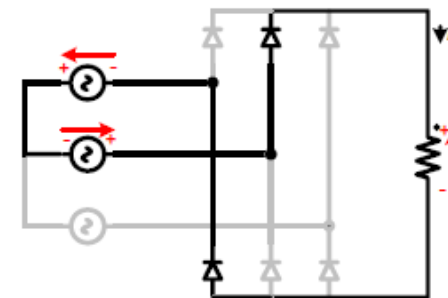
Etapa 2 $\alpha + \pi/3 \leq \omega t < \alpha + 2\pi/3$



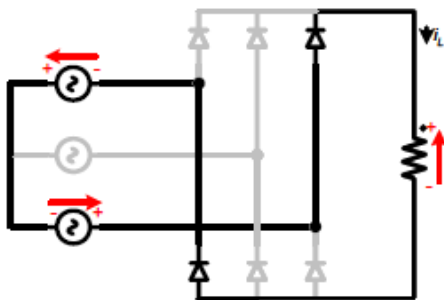
Etapa 3 $\alpha + 2\pi/3 \leq \omega t < \alpha + \pi$



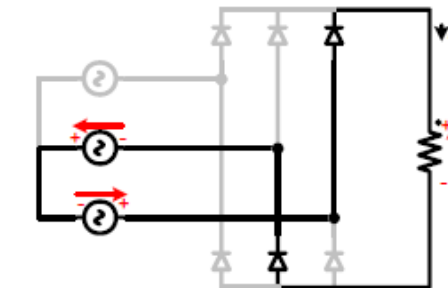
Etapa 4 $\alpha + \pi \leq \omega t < \alpha + 4\pi/3$



Etapa 5 $\alpha + 4\pi/3 \leq \omega t < \alpha + 5\pi/3$

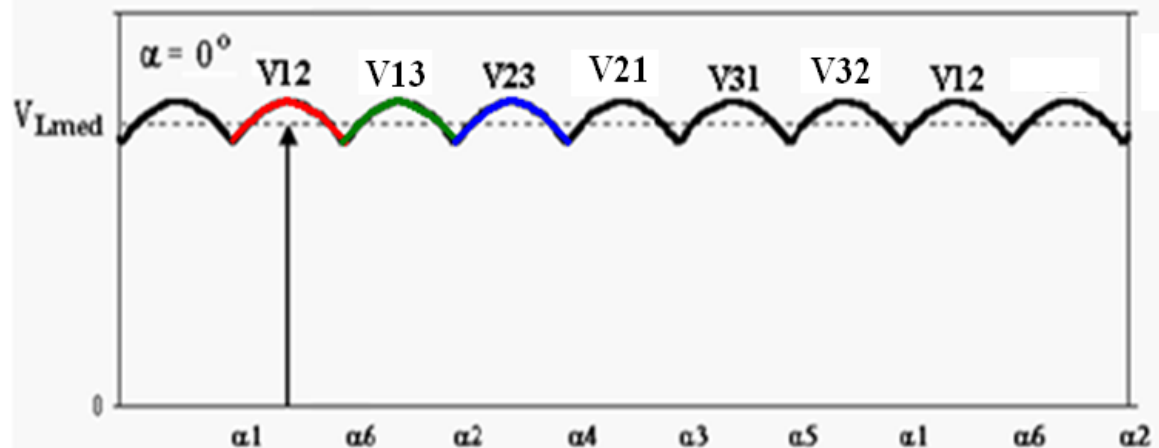
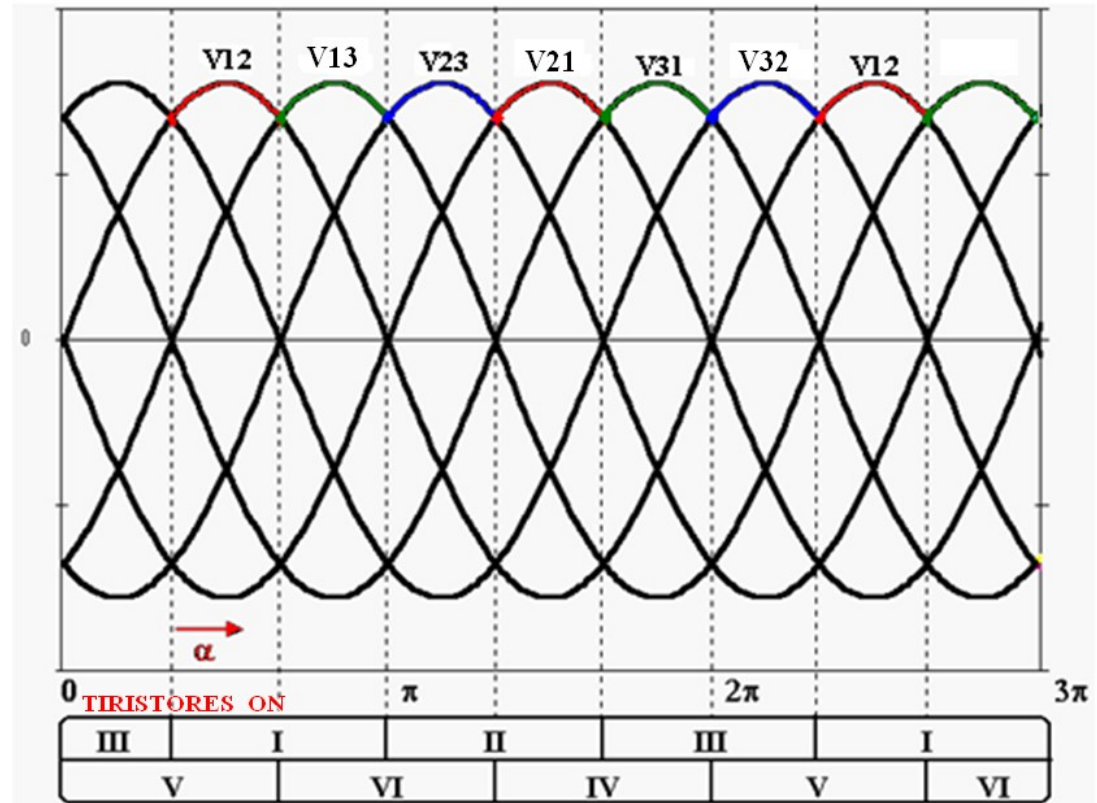
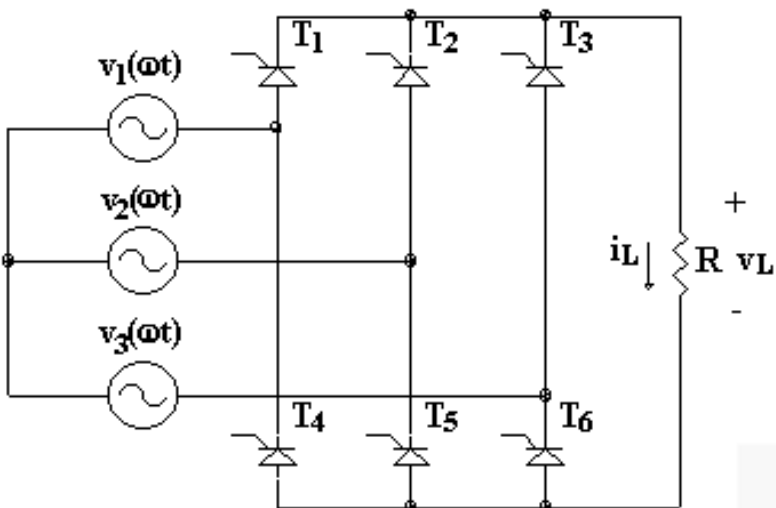


Etapa 6 $\alpha + 3\pi/3 \leq \omega t < \alpha + 2\pi$



FORMAS DE ONDAS – Modo de Condução Contínua ($0 < \alpha < \pi/3$)

Ângulo de disparo $\alpha = 0^\circ$

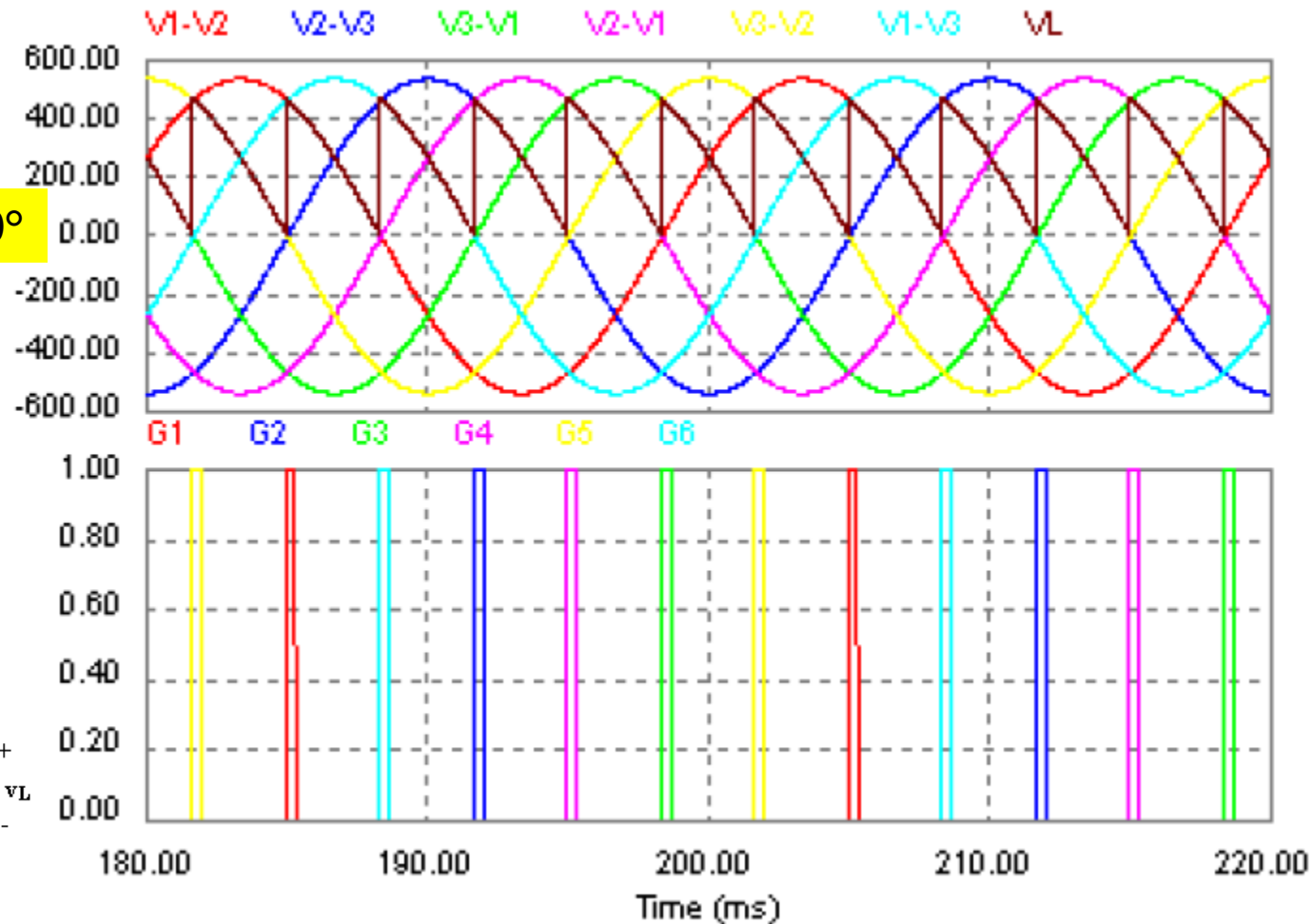
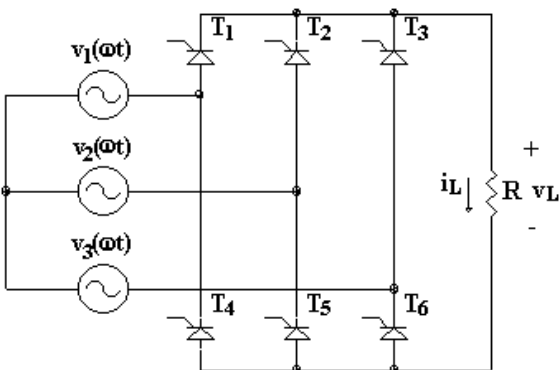


Retificador Trifásico Ponte de Graez com Tiristor, Carga R

FORMAS DE ONDAS – Modo de Condução Contínua

$R=10\Omega$
 $V_o=380V_{ef}(\text{linha})$
 $f=50\text{Hz}$

Ângulo de disparo $\alpha = 60^\circ$



Retificador Trifásico Ponte de Graetz com Tiristor, Carga R

TENSÃO NA CARGA – Condução Contínua ($0 < \alpha < \pi/3$)

MÉDIO

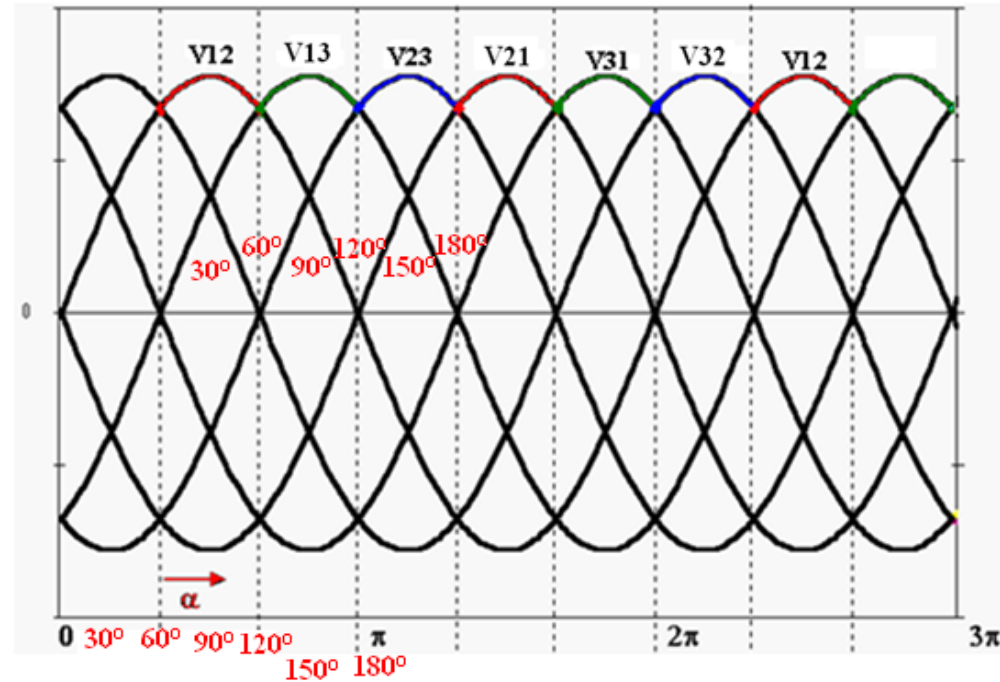
$$V_{Lmed} = \frac{6}{2\pi} \int_{\frac{\pi}{3} + \alpha}^{\frac{2\pi}{3} + \alpha} \sqrt{2} V_{OL} \sin(\omega t) d(\omega t)$$

$$V_{Lmed} = 2,34 V_o \cos \alpha$$

EFICAZ

$$V_{Lef} = \sqrt{\frac{1}{2\pi/6} \int_{\frac{\pi}{3} + \alpha}^{\frac{2\pi}{3} + \alpha} \left[\sqrt{2} \sqrt{3} V_o \sin(\omega t) \right]^2 d(\omega t)}$$

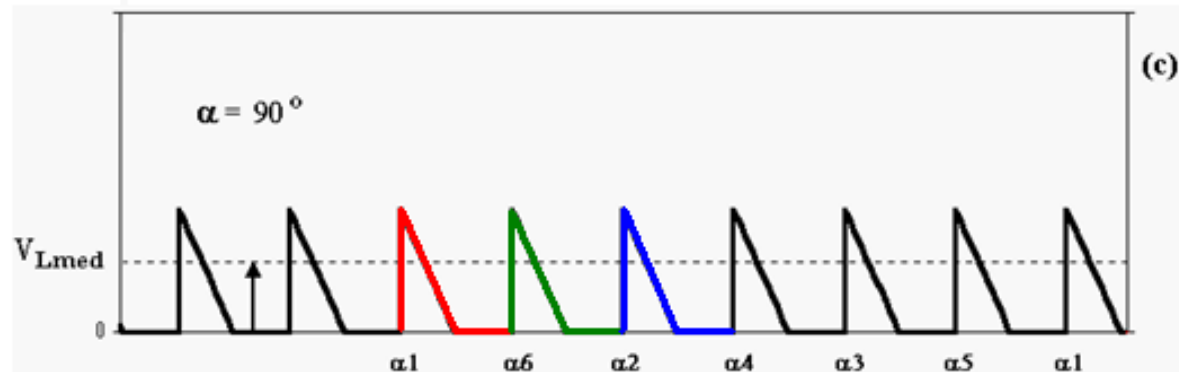
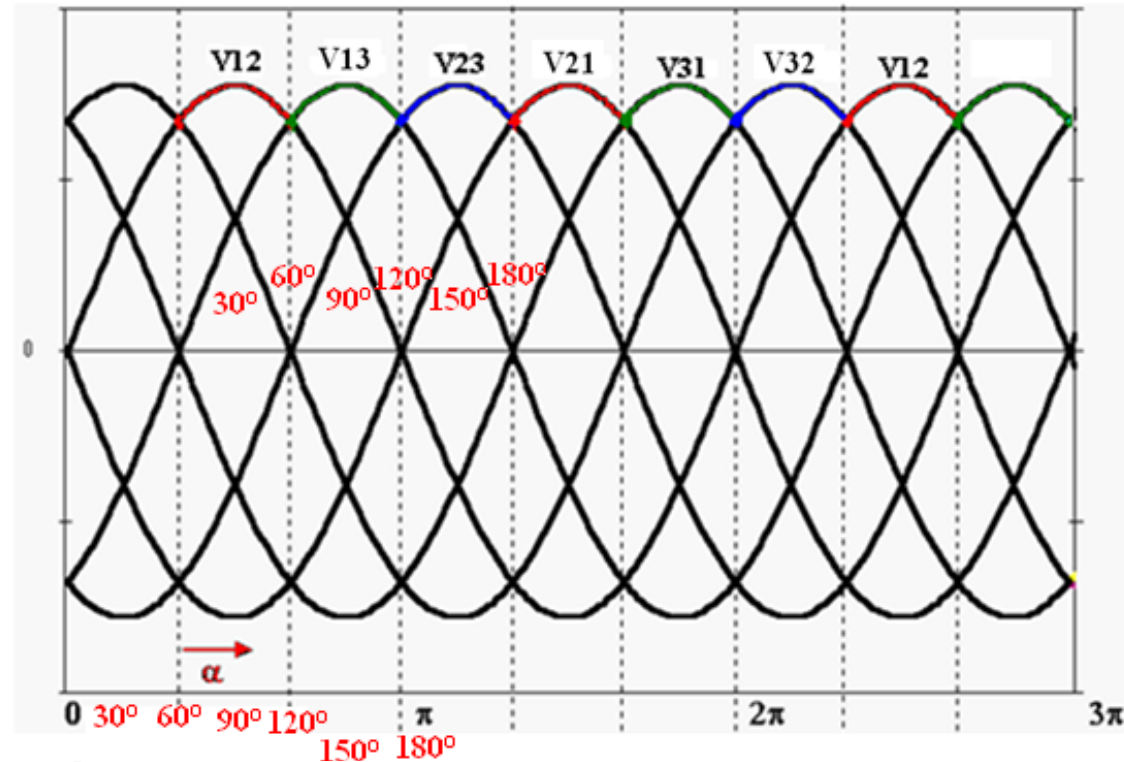
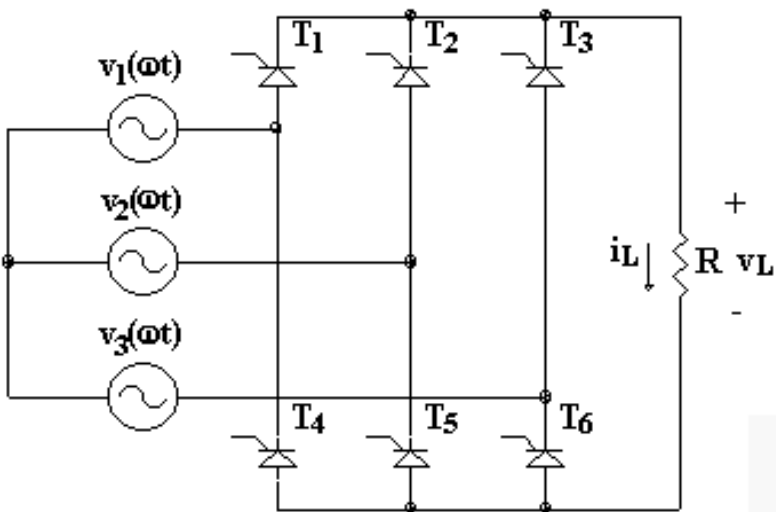
$$V_{Lef} = V_o \sqrt{\frac{18}{3} + \frac{9}{2\pi} \sin\left(\frac{2\pi}{3} + 2\alpha\right)}$$



Retificador Trifásico Ponte de Graez com Tiristor, Carga R

FORMAS DE ONDAS – Modo de Condução Descontínua $(\pi/3 < \alpha < 2\pi/3)$

Ângulo de disparo $\alpha = 90^\circ$



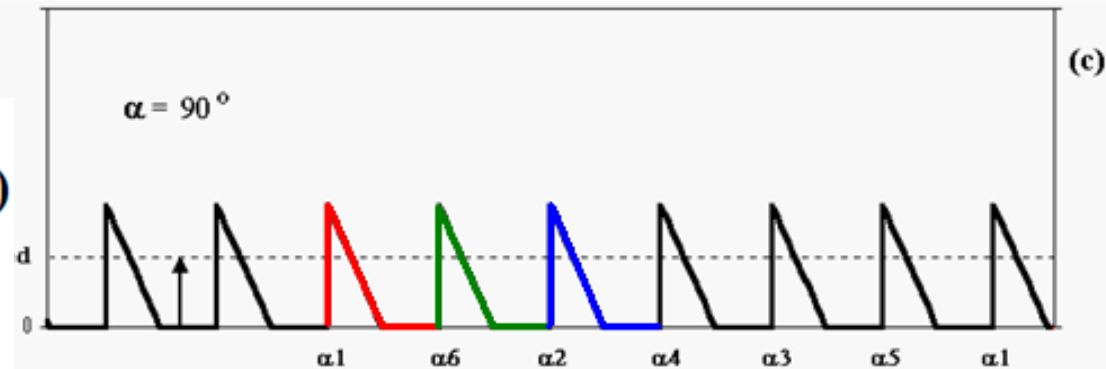
Retificador Trifásico Ponte de Graez com Tiristor, Carga R

TENSÃO NA CARGA – Condução Descontínua ($\pi/3 < \alpha < 2\pi/3$)

MÉDIO

$$V_{Lmed} = \frac{6}{2\pi} \int_{\frac{\pi}{3} + \alpha}^{\pi} \sqrt{2} V_{OL} \sin(\omega t) d(\omega t)$$

$$V_{Lmed} = 2,34 V_{OL} \left[1 + \cos\left(\frac{\pi}{3} + \alpha\right) \right]$$

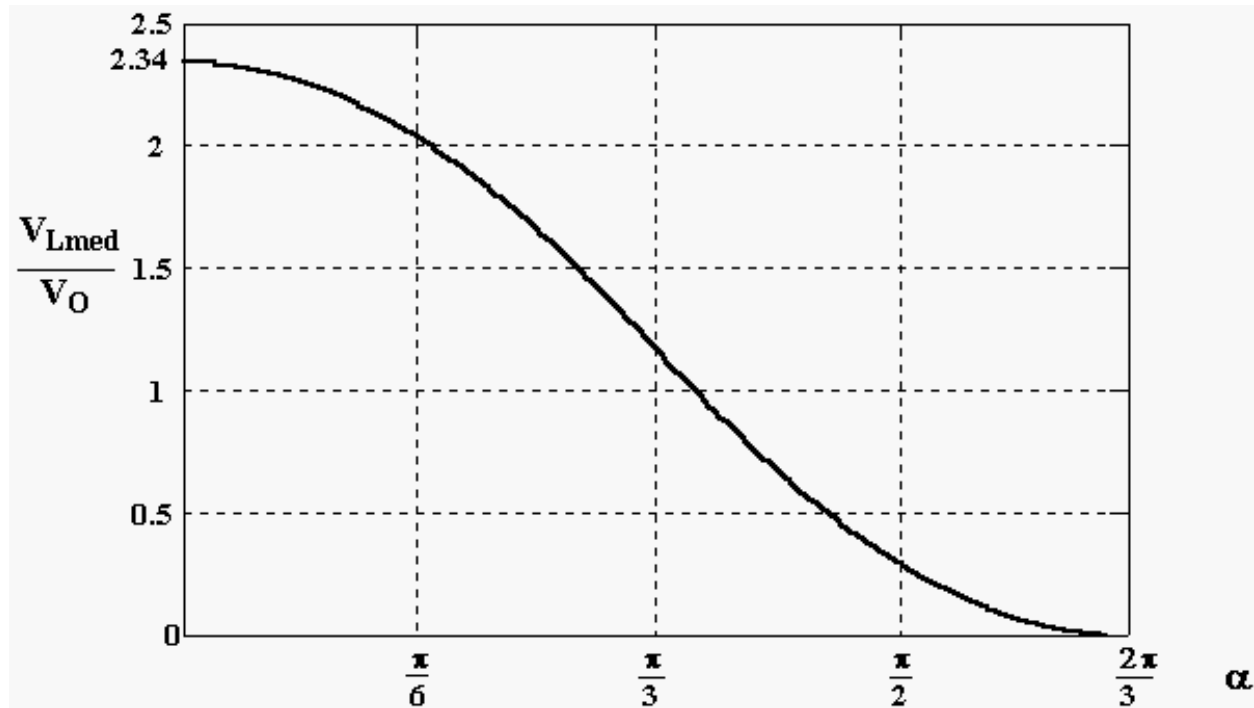


EFICAZ

$$V_{Lef} = \sqrt{\frac{1}{2\pi/6} \int_{\frac{\pi}{3} + \alpha}^{\pi} \left[\sqrt{2} \sqrt{3} V_o \sin(\omega t) \right]^2 d(\omega t)}$$

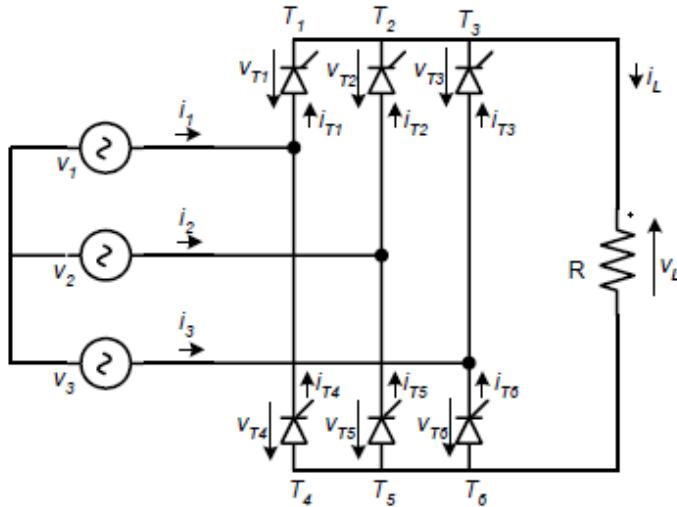
Retificador Trifásico Ponte de Graez com Tiristor, Carga R

COMPORTAMENTO DA TENSÃO MÉDIA NA CARGA



Retificador Trifásico Ponte de Graez com Tiristor, Carga R

Corrente na carga



Médio

$$I_{Lmed} = \frac{V_{Lmed}}{R}$$

Eficaz

$$I_{Lef} = \frac{V_{Lef}}{R}$$

Corrente na entrada (em cada fase)

Médio

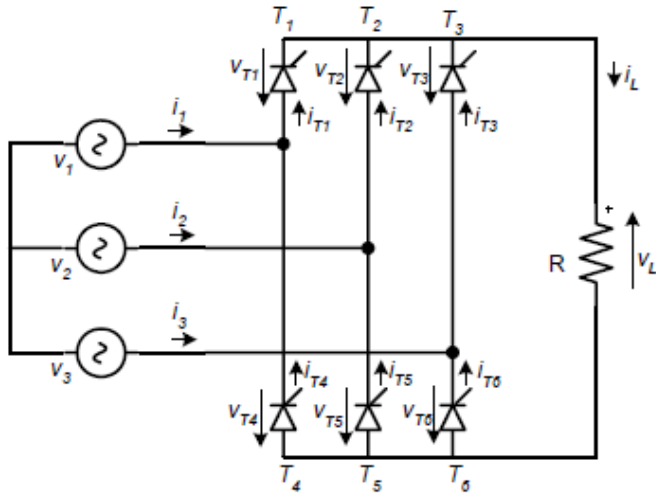
$$I_{1med} = 0$$

Eficaz

$$I_{1ef} = \sqrt{\frac{2}{3}} I_{Lef}$$

Retificador Trifásico Ponte de Graez com Tiristor, Carga R

Esforços nos tiristores



Tensão direta e reversa

$$V_{T\max} = \sqrt{3}\sqrt{2}V_o$$

Corrente de pico

$$I_{T\max} = \sqrt{2}\sqrt{3}\frac{V_o}{R}$$

Corrente média

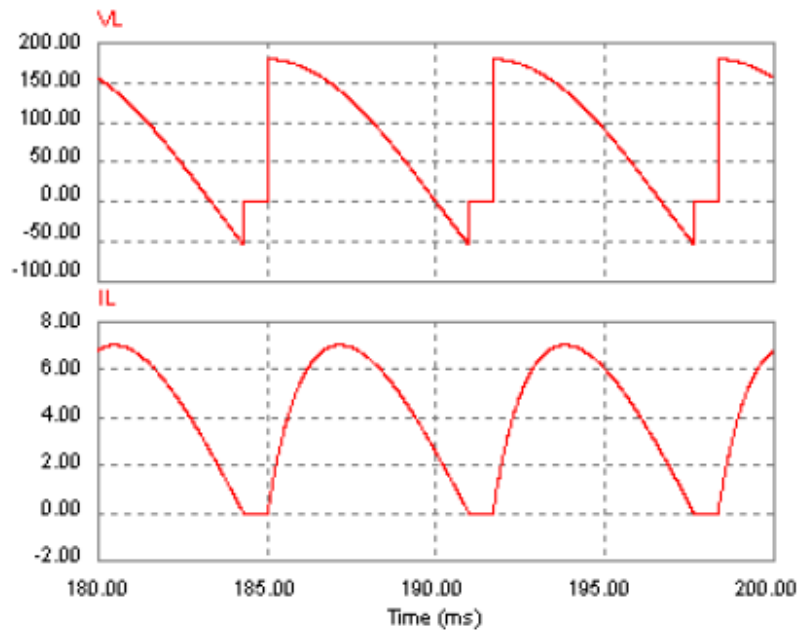
$$I_{Tmed} = \frac{I_{1med}}{3}$$

Corrente eficaz

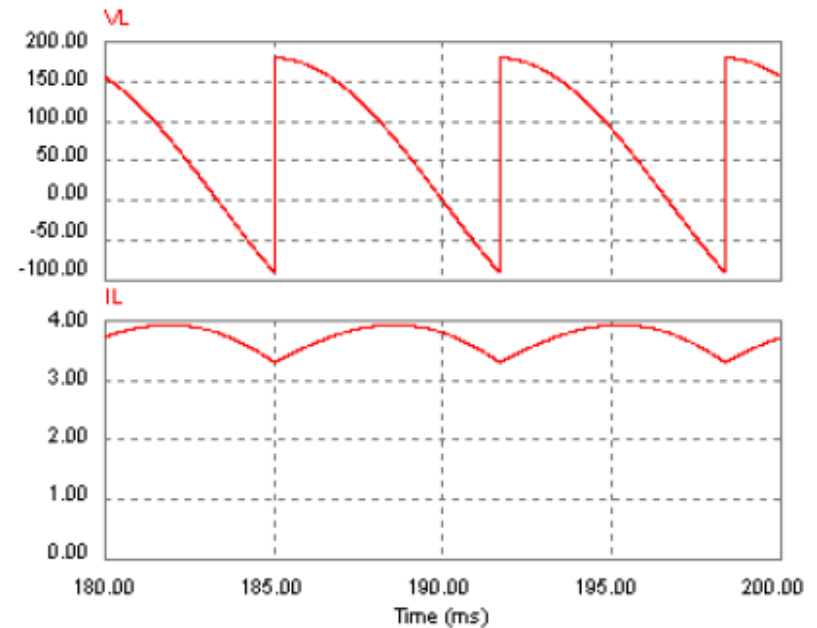
$$I_{Tef} = \frac{I_{1ef}}{\sqrt{3}}$$

Modos de condução

1) Condução descontínua



2) Condução contínua



Retificador Trifásico Ponte de Graetz com Tiristor, Carga RL

$$\cos \phi = \frac{R}{\sqrt{R^2 + \omega^2 L^2}}$$

Ábaco de Puschlowski

$$\alpha_1 = \alpha + 60^\circ$$

Ângulo crítico

$$\beta_c = 60^\circ + \alpha_1$$

$$\beta_c = \frac{2\pi}{m} + \alpha_1$$

Exemplo:

$$\alpha = 30^\circ$$

$$\alpha_1 = 90^\circ$$

$$\cos \phi = 0.6$$

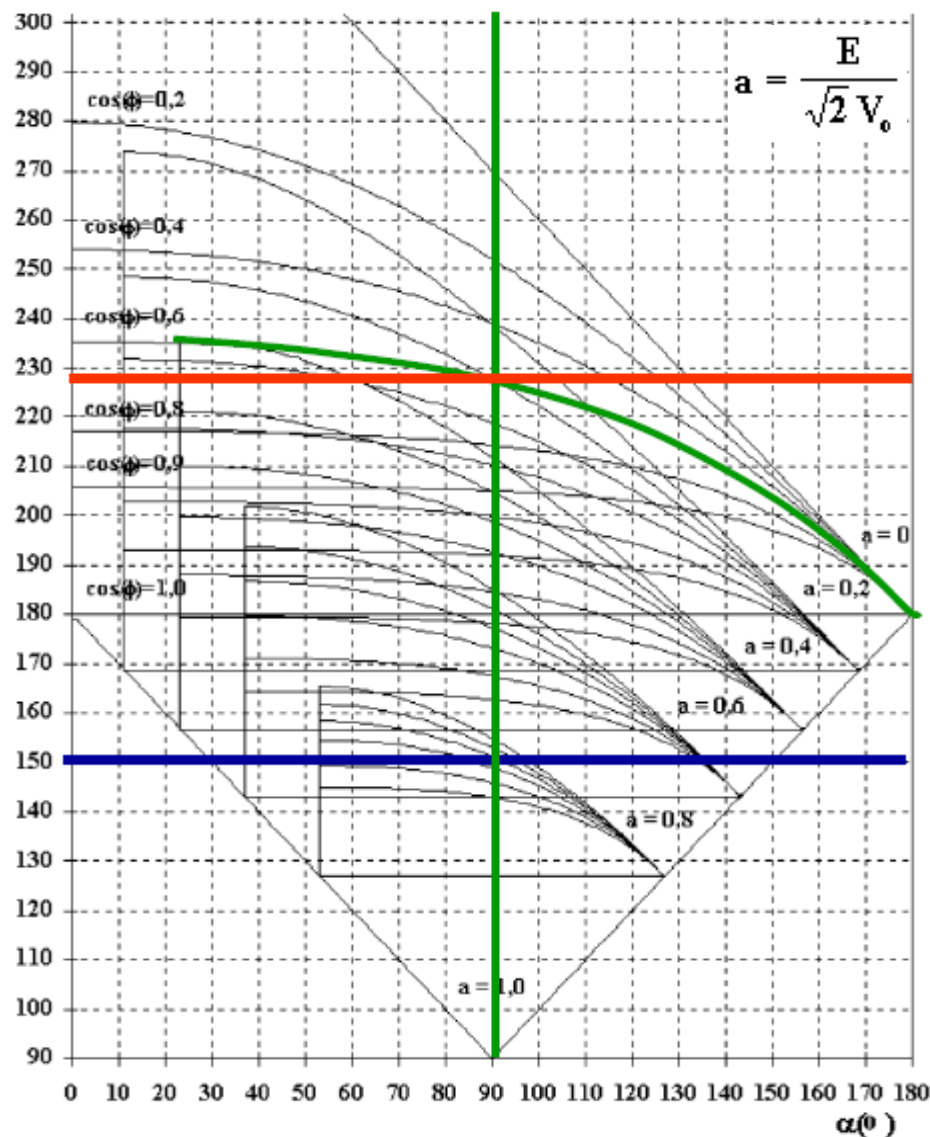
$$a = 0$$

$$\beta_c = 150^\circ$$

Resultado:

$$\beta = 228^\circ \text{ (condução contínua)}$$

Nº de pulsos	$\beta_{\text{crítico}}$
1	$\beta_c = 2\pi + \alpha_1$
2	$\beta_c = \pi + \alpha_1$
3	$\beta_c = \frac{2\pi}{3} + \alpha_1$
6	$\beta_c = \frac{2\pi}{6} + \alpha_1$



Retificador Trifásico Ponte de Graez com Tiristor, Carga RL

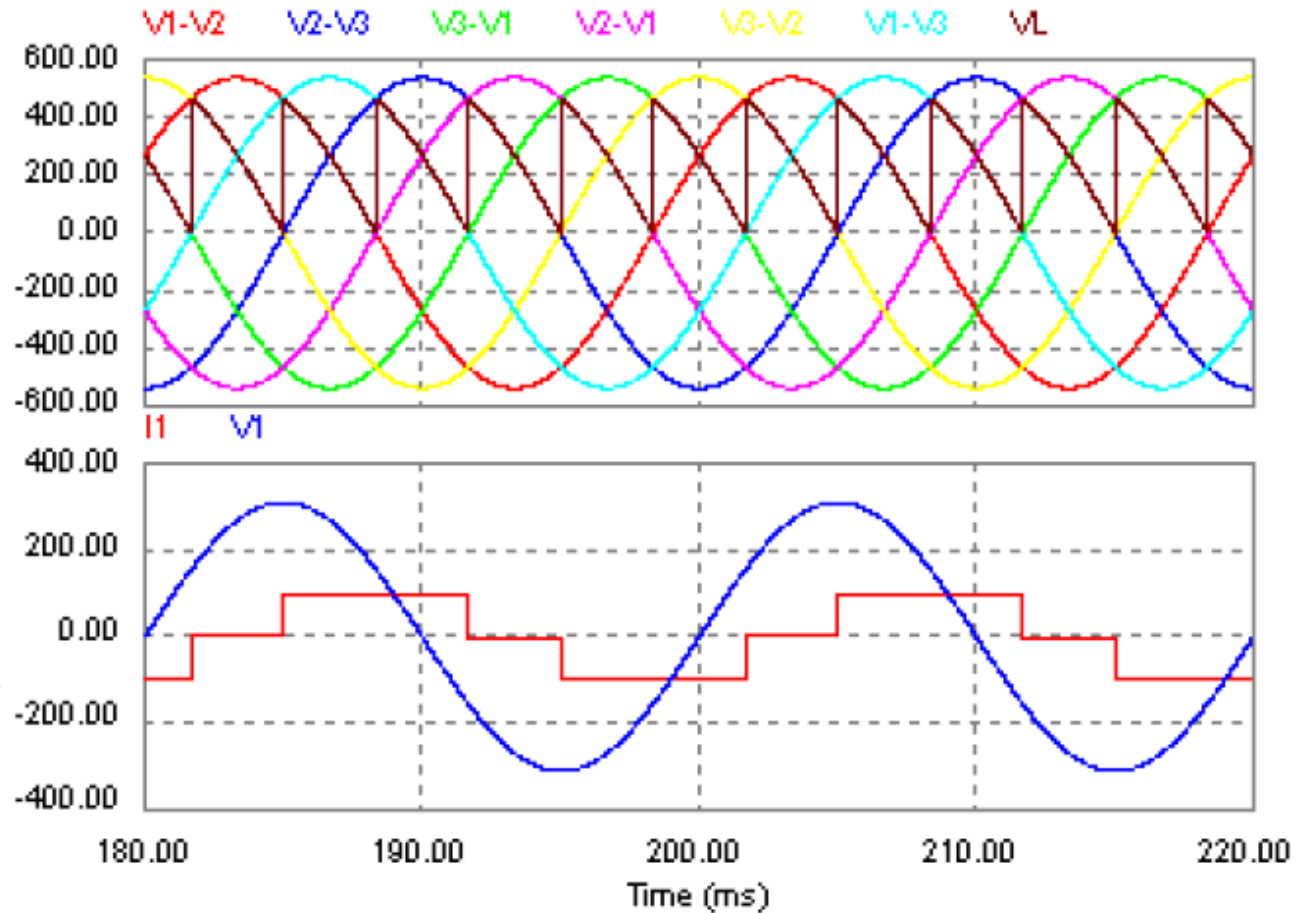
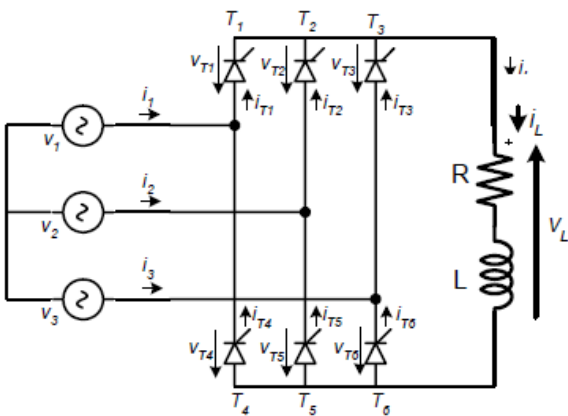
Formas de onda → condução contínua

$$I_L = 100A$$

$$V_o = 380V_{ef}(\text{linha})$$

$$f = 50Hz$$

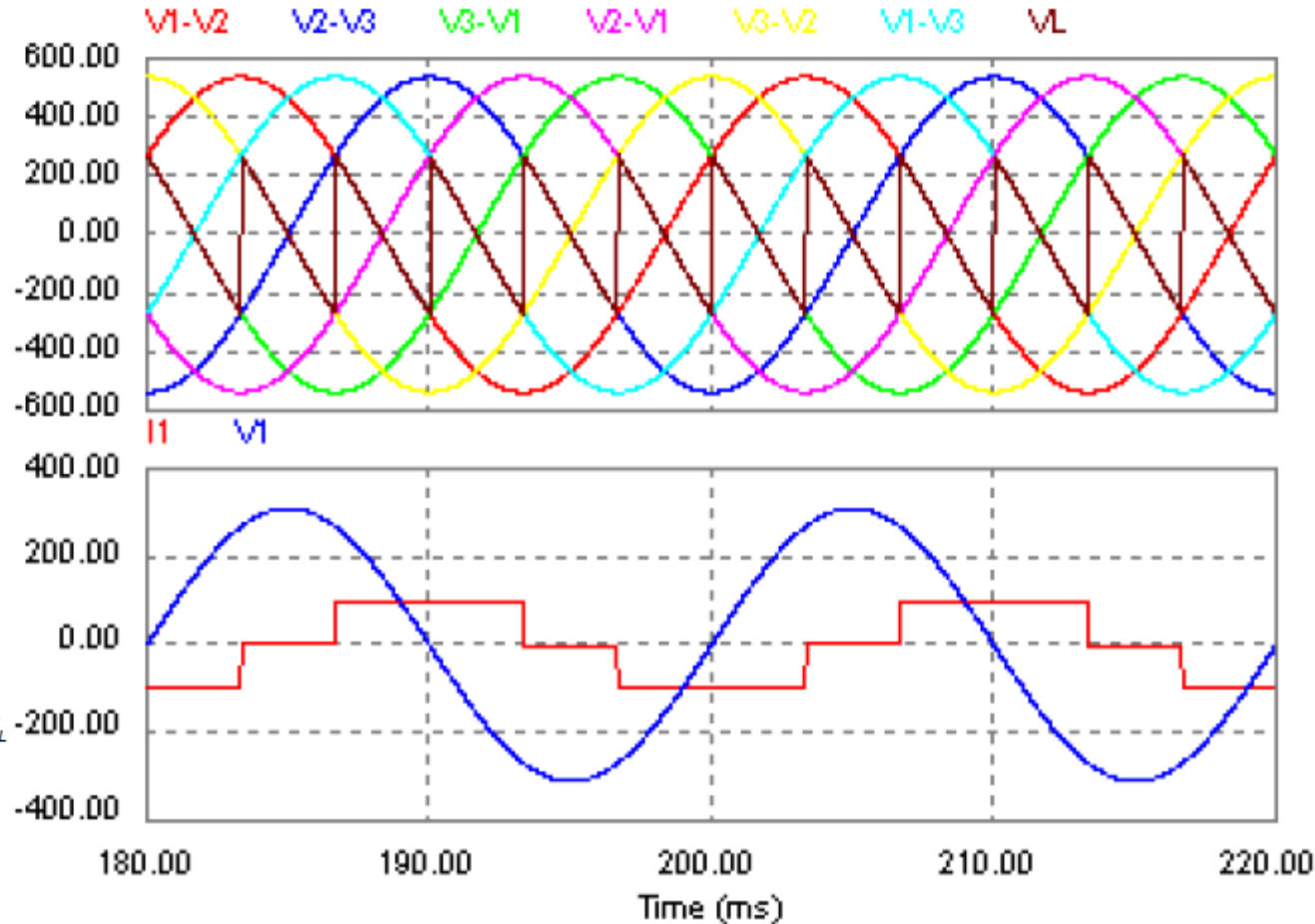
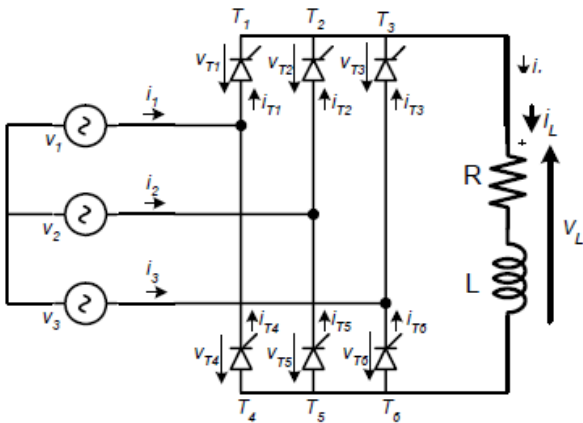
$$\alpha = 60^\circ$$



Retificador Trifásico Ponte de Graez com Tiristor, Carga RL

Formas de onda → condução contínua

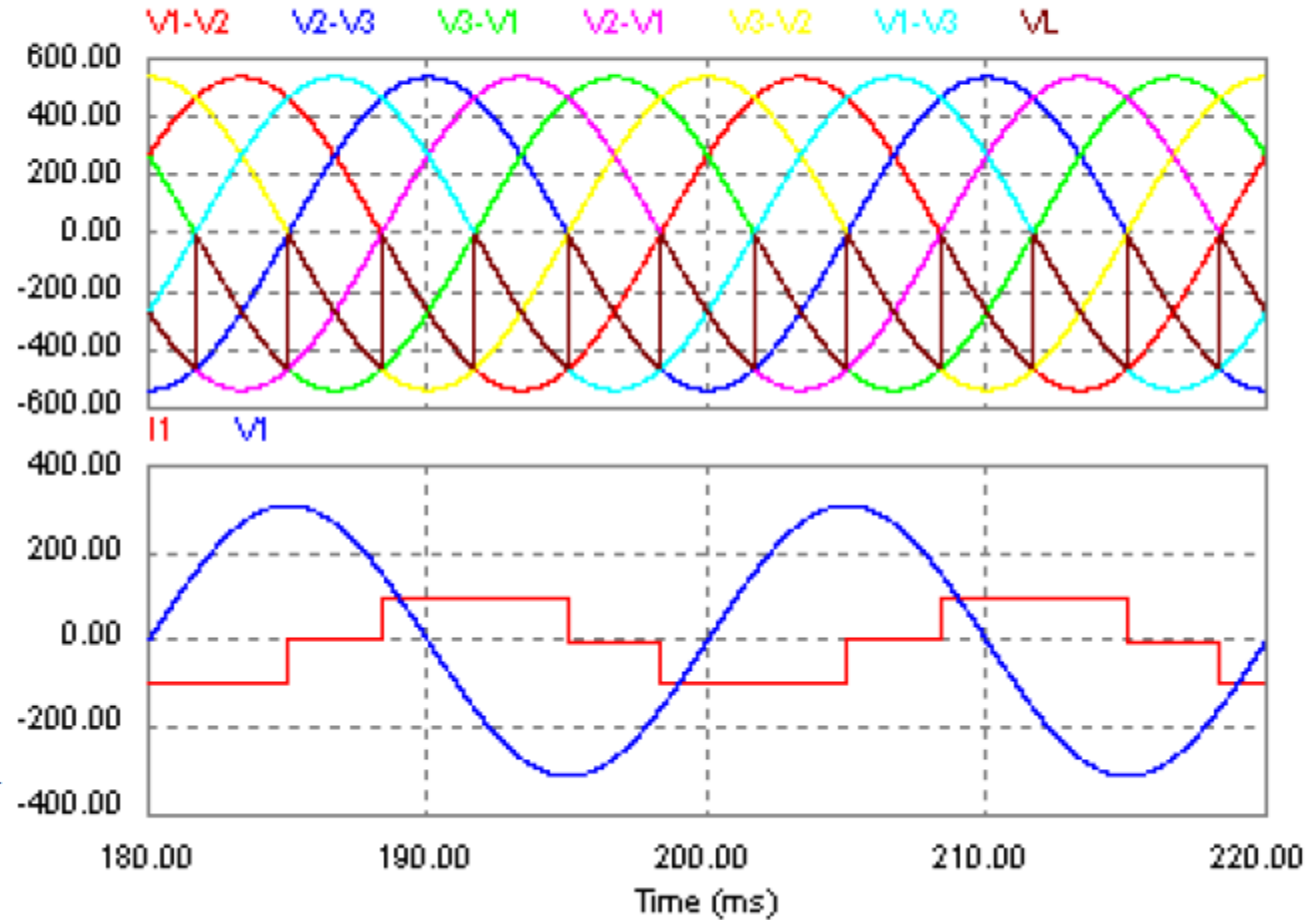
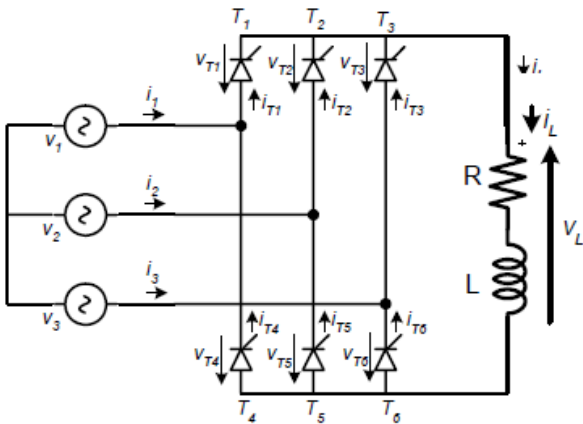
$I_L = 100\text{A}$
 $V_o = 380\text{V}_{\text{ef}}(\text{linha})$
 $f = 50\text{Hz}$
 $\alpha = 90^\circ$



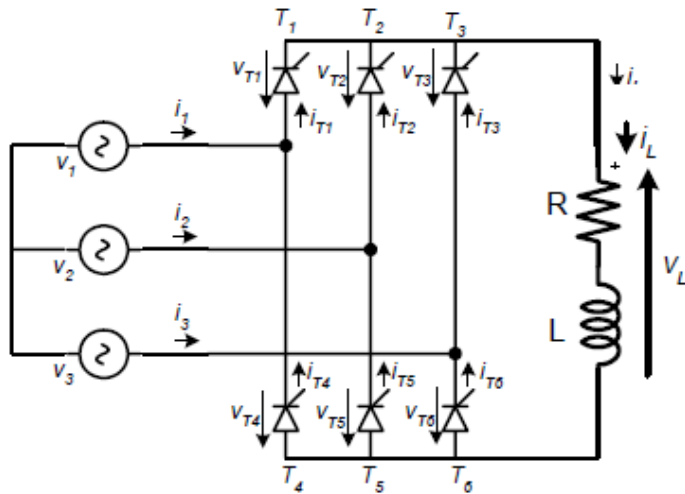
Retificador Trifásico Ponte de Graez com Tiristor, Carga RL

Formas de onda → condução contínua

$I_L = 100A$
 $V_o = 380V_{ef}(\text{linha})$
 $f = 50Hz$
 $\alpha = 120^\circ$



Tensão na carga



Médio

$$V_{Lmed} = \frac{1}{2\pi/6} \int_{\frac{\pi}{3}+\alpha}^{\frac{2\pi}{3}+\alpha} \sqrt{2}\sqrt{3}V_o \sin(\omega t) d(\omega t)$$

$$V_{Lmed} \cong 2.34V_o \cos(\alpha)$$

Eficaz

$$V_{Lef} = \sqrt{\frac{1}{2\pi/6} \int_{\frac{\pi}{3}+\alpha}^{\frac{2\pi}{3}+\alpha} \left[\sqrt{2}\sqrt{3}V_o \sin(\omega t) \right]^2 d(\omega t)}$$

$$V_{Lef} = V_o \sqrt{3 + \frac{9}{2\pi} \left[\sin\left(\frac{2\pi}{3} + 2\alpha\right) - \sin\left(\frac{4\pi}{3} + 2\alpha\right) \right]}$$

Retificador Trifásico Ponte de Graez com Tiristor

Carga Indutiva (RL)

$$0 \leq \alpha < \frac{\pi}{2} \Rightarrow V_{Lmed} > 0$$

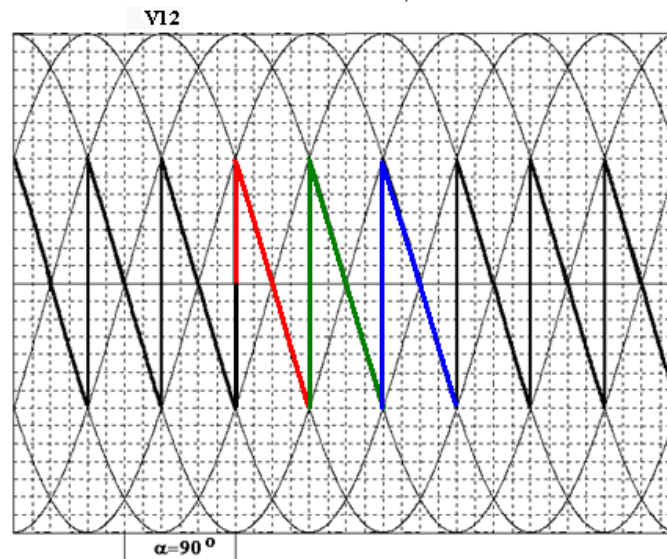
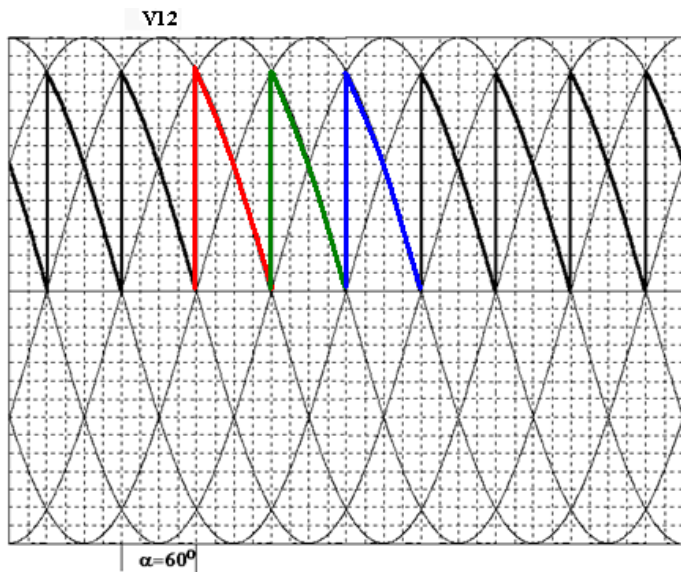
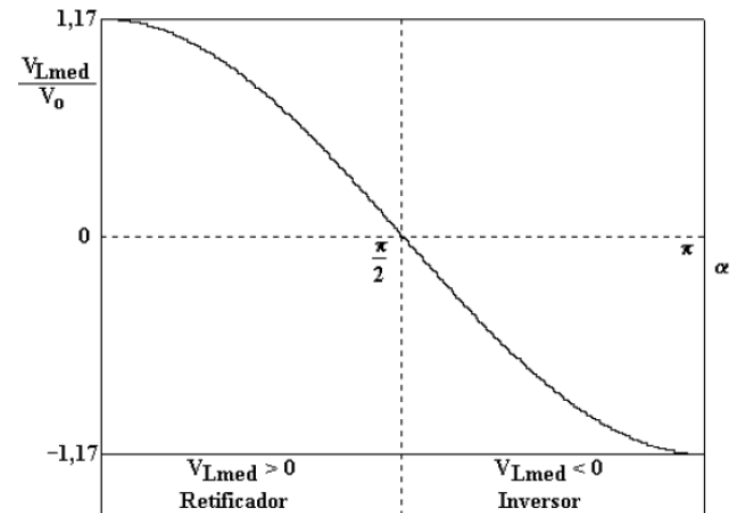
-Operação como
retificador;

$$\frac{\pi}{2} < \alpha \leq \pi \Rightarrow V_{Lmed} < 0$$

-Operação como
inversor não-
autônomo

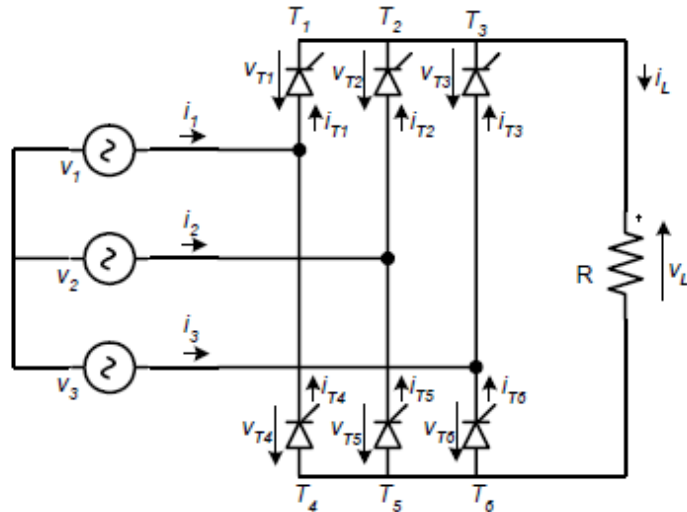
$$\alpha = \frac{\pi}{2} \Rightarrow V_{Lmed} = 0$$

Tensão média na carga



Retificador Trifásico Ponte de Graez com Tiristor, Carga RL

Corrente na carga



Médio

$$I_{Lmed} = \frac{V_{Lmed}}{R}$$

Eficaz

$$I_{Lef} = I_{Lmed}$$

Corrente na entrada (em cada fase)

Médio

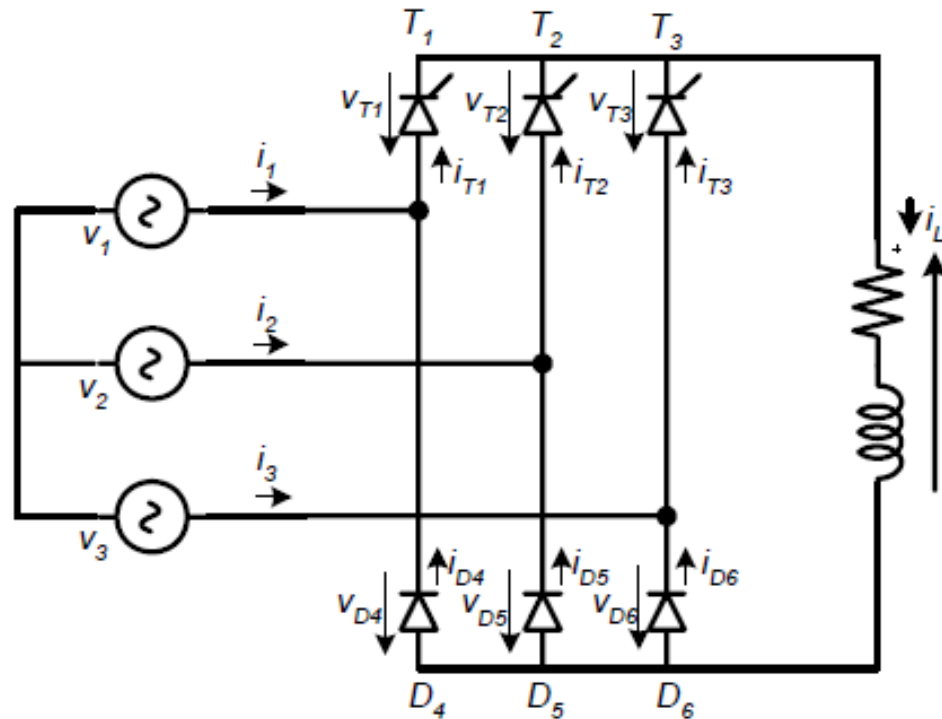
$$I_{1med} = 0$$

Eficaz

$$I_{1ef} = \sqrt{\frac{2}{3}} I_{Lef}$$

Retificador Trifásico Semicontrolado, Carga RL

TOPOLOGIA

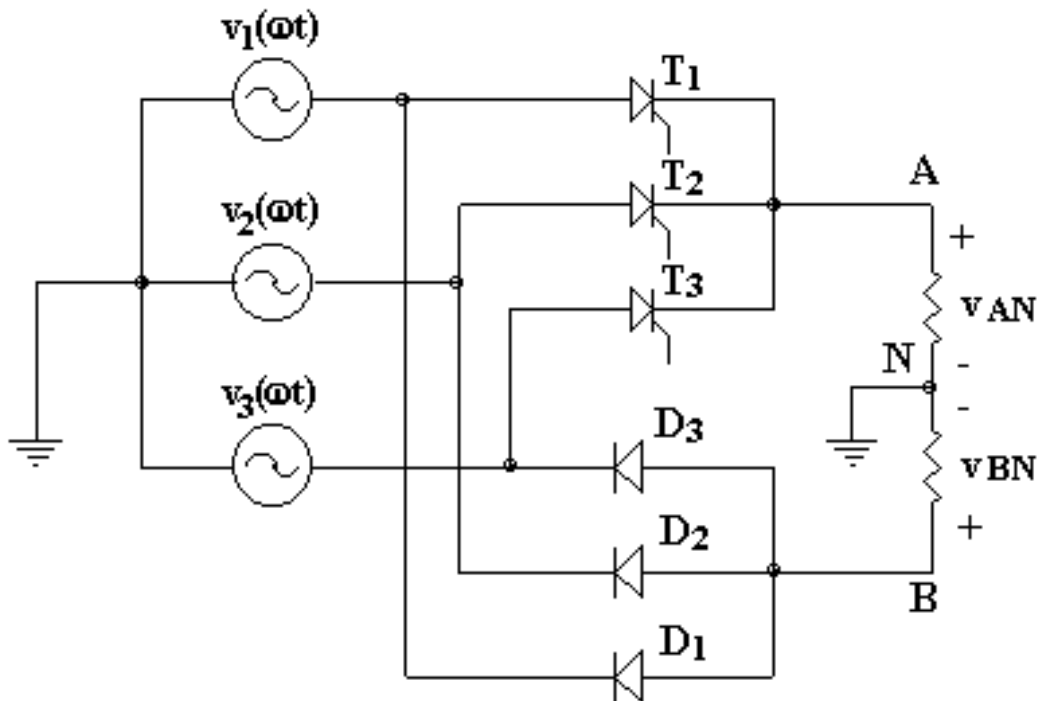


O ângulo α é contado a partir do ponto da interceptação de duas tensões da fonte, e não do cruzamento por zero

Retificador Trifásico Semicontrolado, Carga RL

PRINCIPAIS CARACTERÍSTICAS:

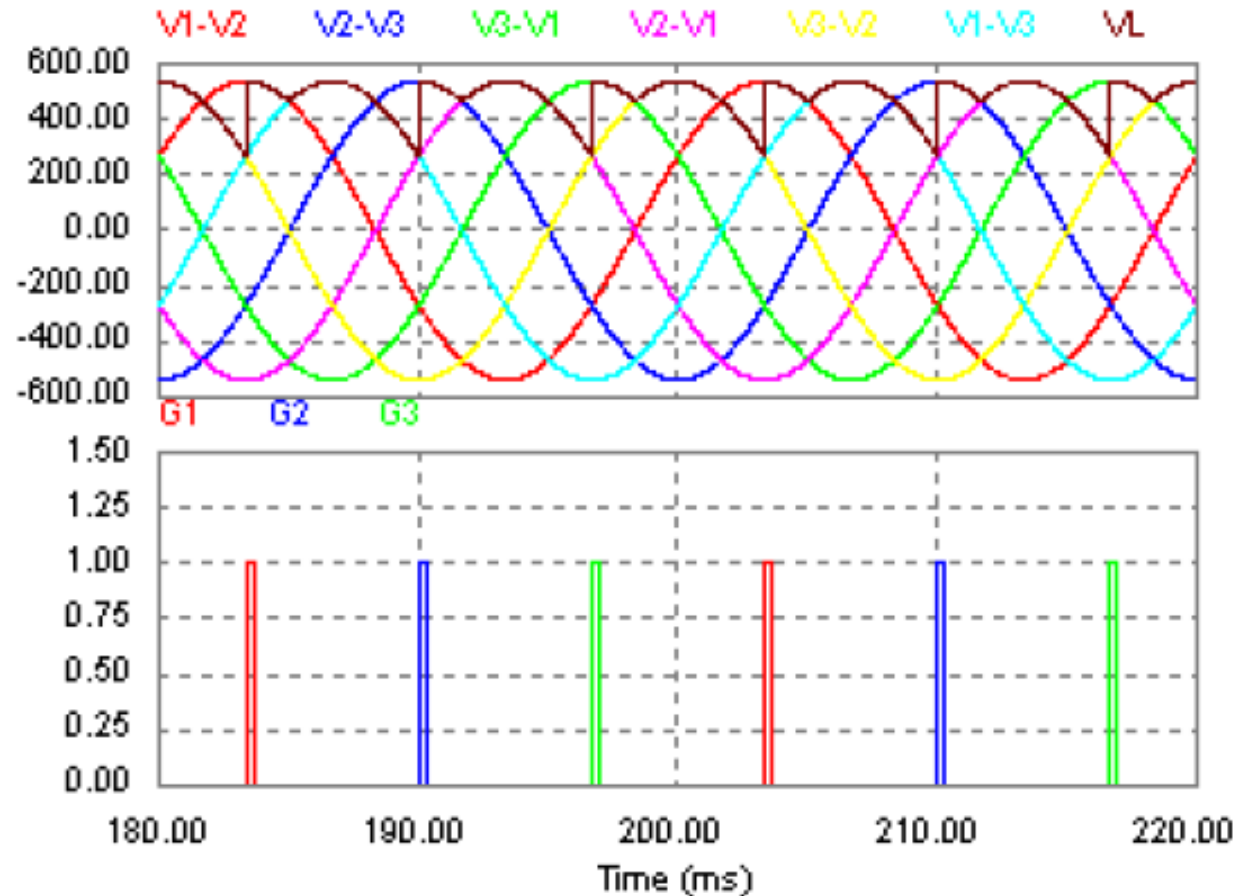
- Operação somente em um quadrante (retificadores);
- Circuitos de comandos mais simples;
- Emprego de apenas 3 tiristores.



Retificador Trifásico Semicontrolado, Carga RL

Formas de onda → condução contínua

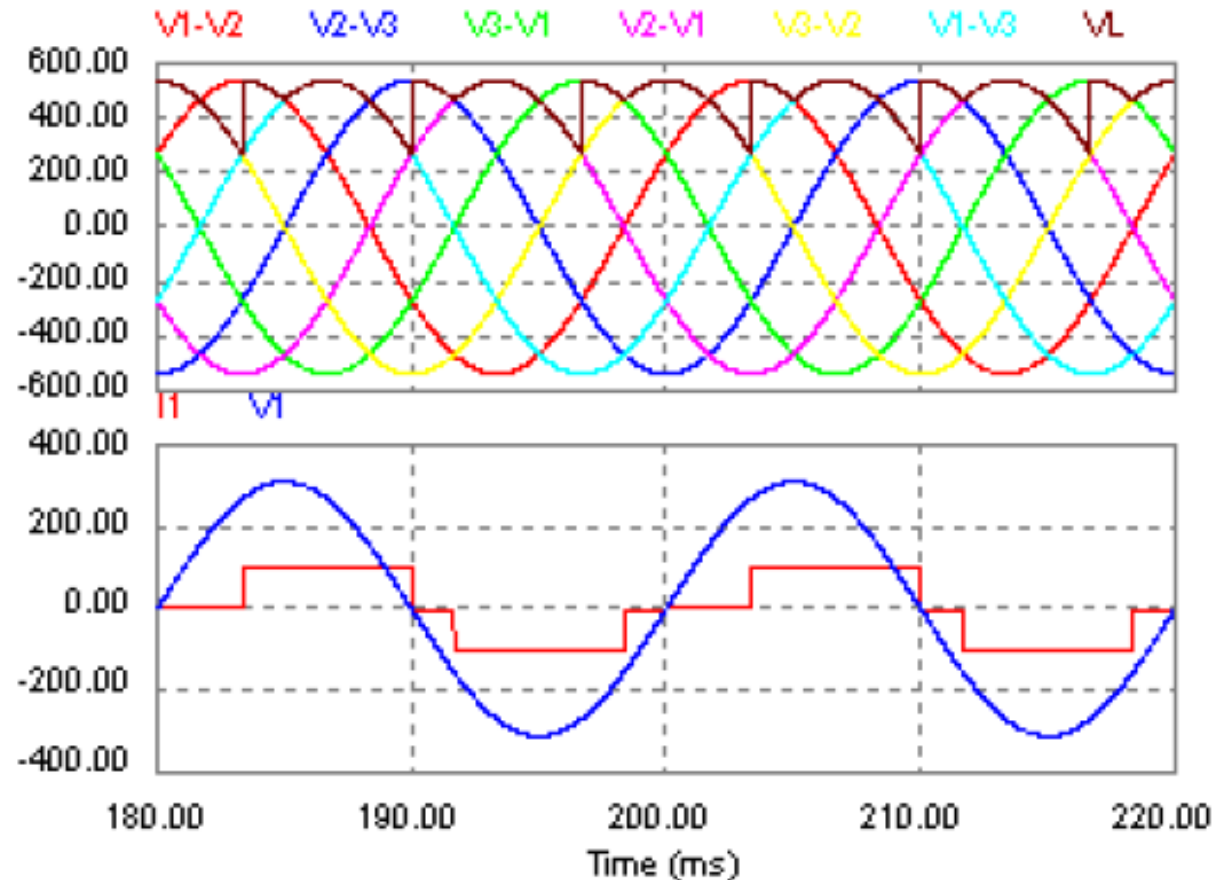
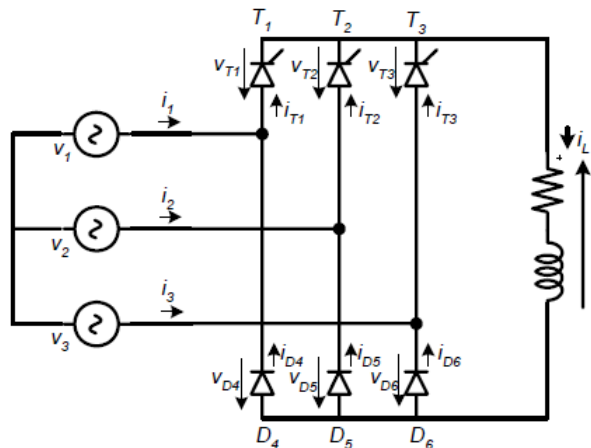
$I_L = 100A$
 $V_o = 380V_{ef}(\text{linha})$
 $f = 50Hz$
 $\alpha = 30^\circ$



Retificador Trifásico Semicontrolado, Carga RL

Formas de onda → condução contínua

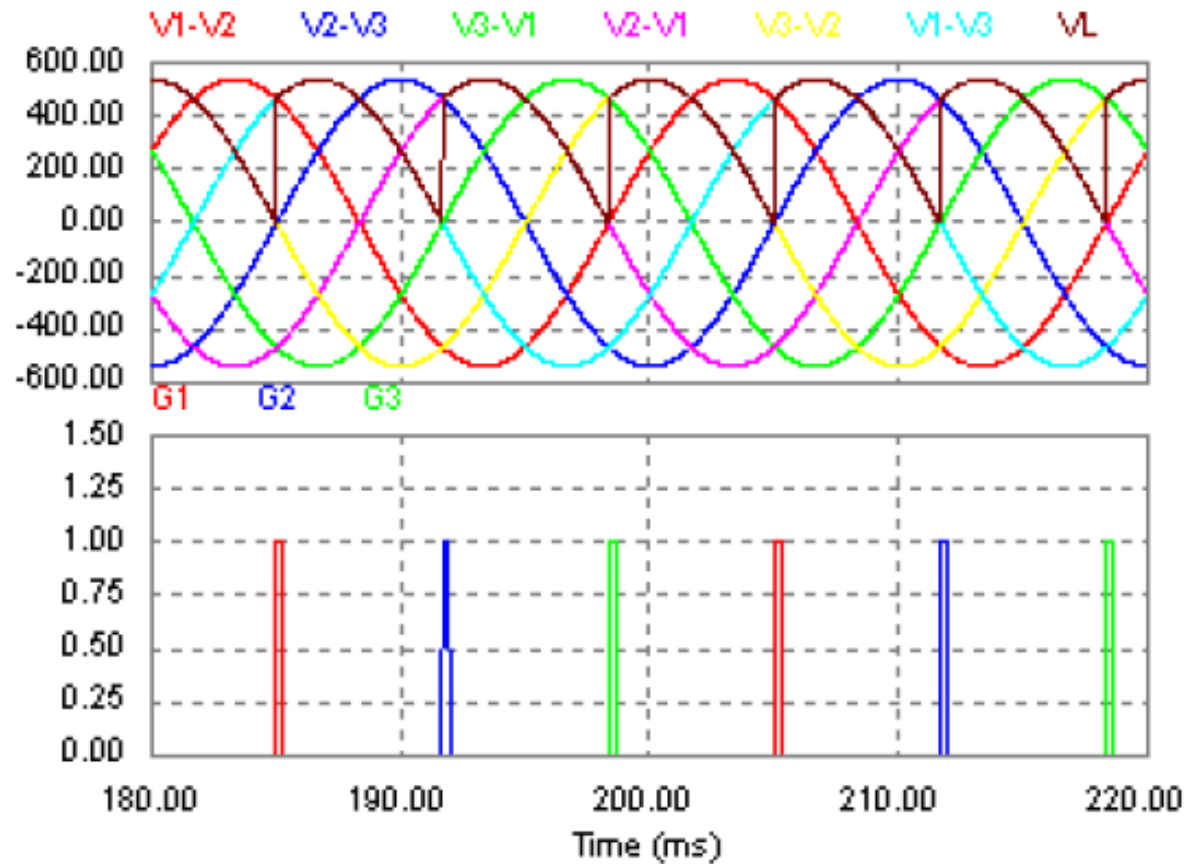
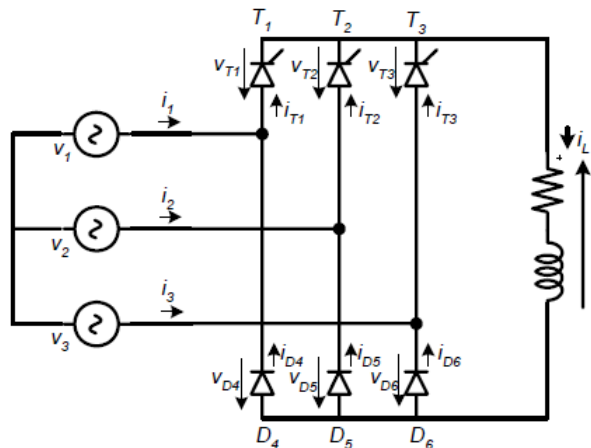
$I_L = 100\text{A}$
 $V_o = 380\text{V}_{\text{ef}}(\text{linha})$
 $f = 50\text{Hz}$
 $\alpha = 30^\circ$



Retificador Trifásico Semicontrolado, Carga RL

Formas de onda → condução contínua

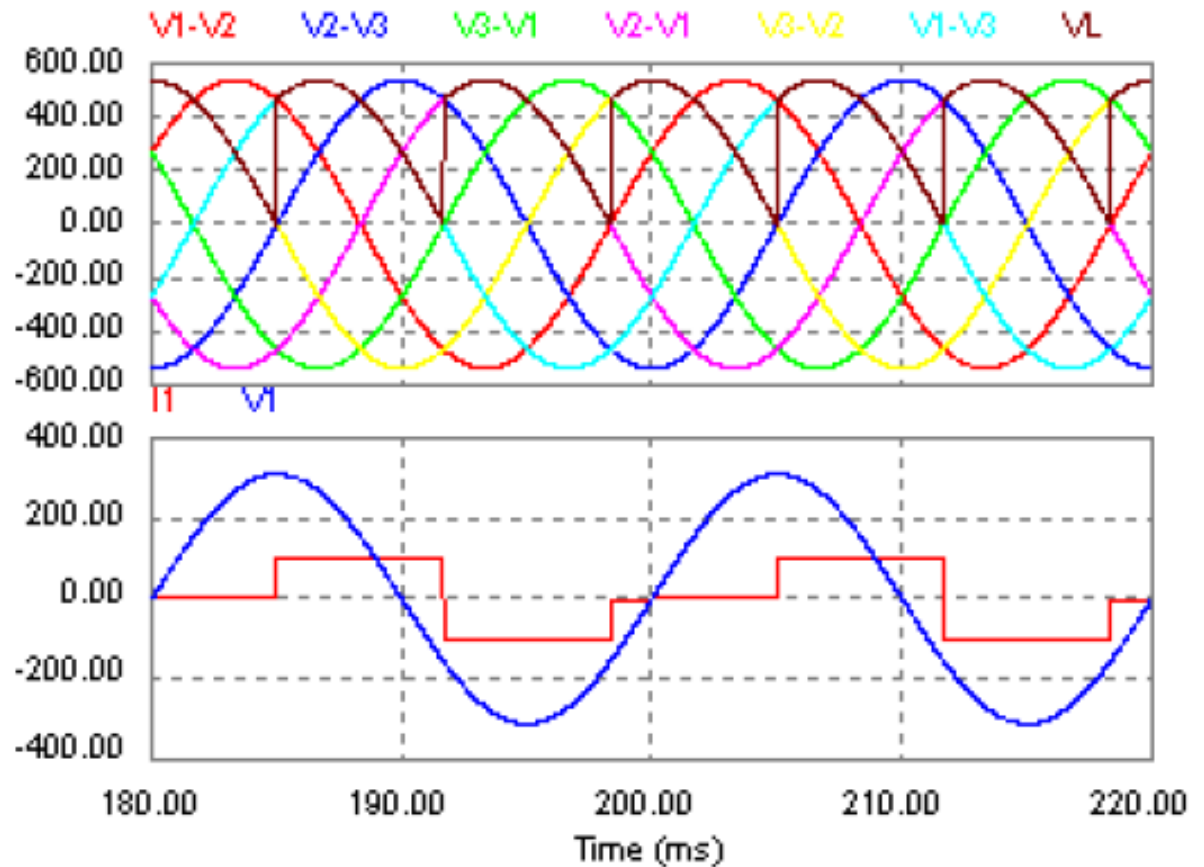
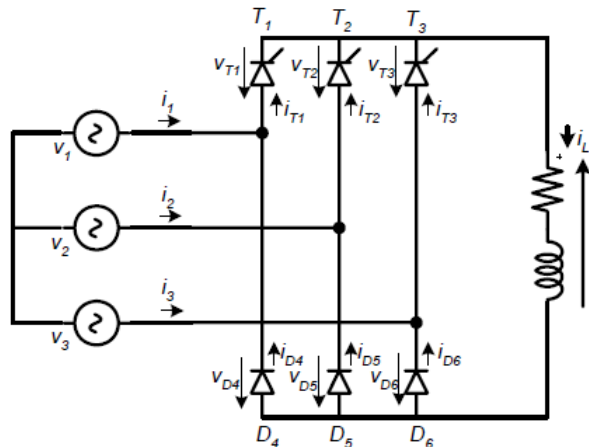
$I_L = 100A$
 $V_o = 380V_{ef}(\text{linha})$
 $f = 50Hz$
 $\alpha = 60^\circ$



Retificador Trifásico Semicontrolado, Carga RL

Formas de onda → condução contínua

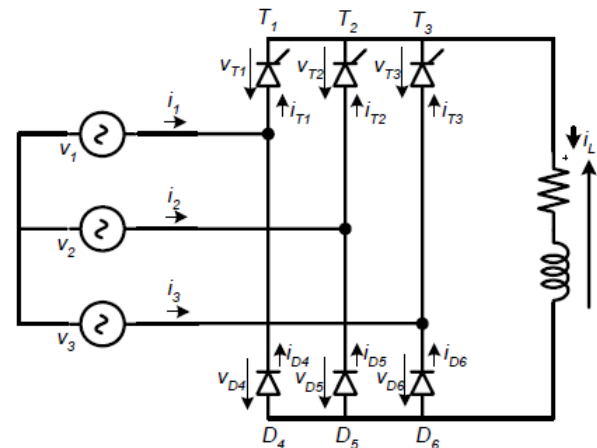
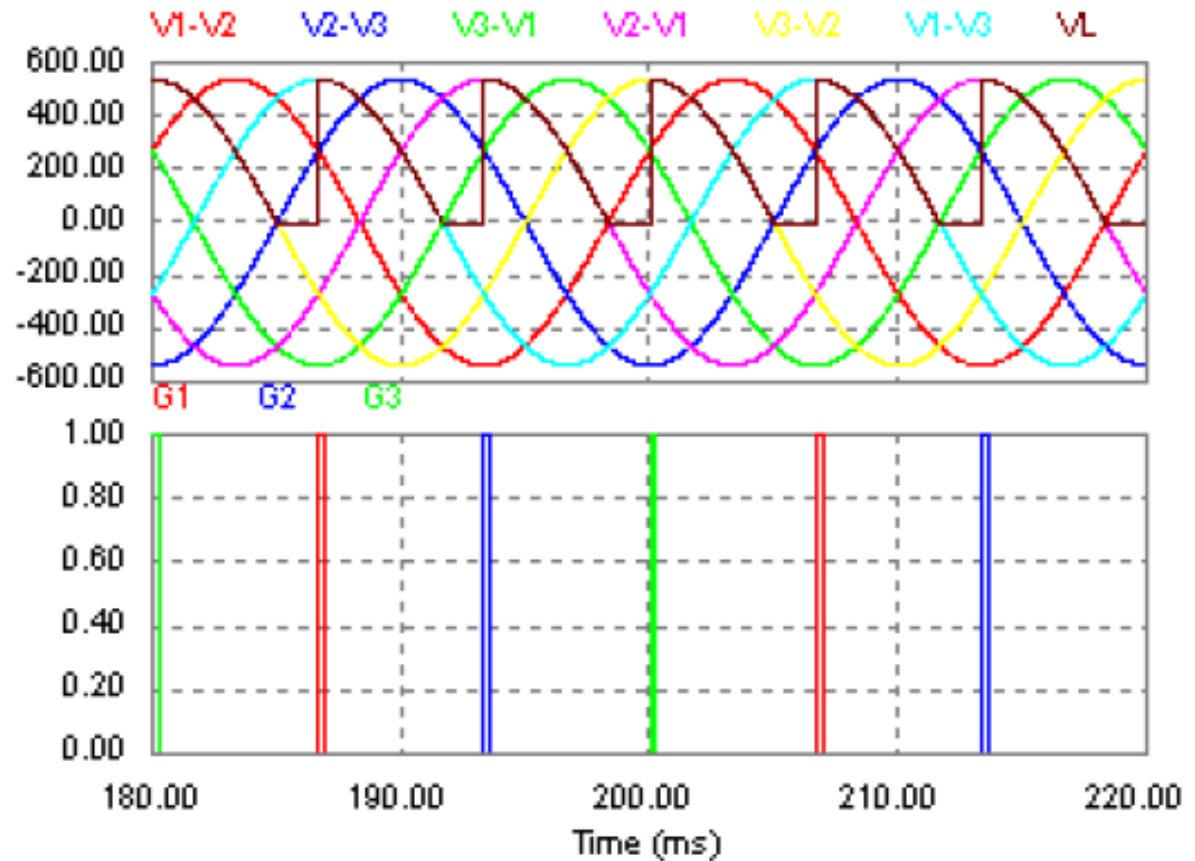
$I_L = 100\text{A}$
 $V_o = 380\text{V}_{\text{ef}}(\text{linha})$
 $f = 50\text{Hz}$
 $\alpha = 60^\circ$



Retificador Trifásico Semicontrolado, Carga RL

Formas de onda → condução contínua

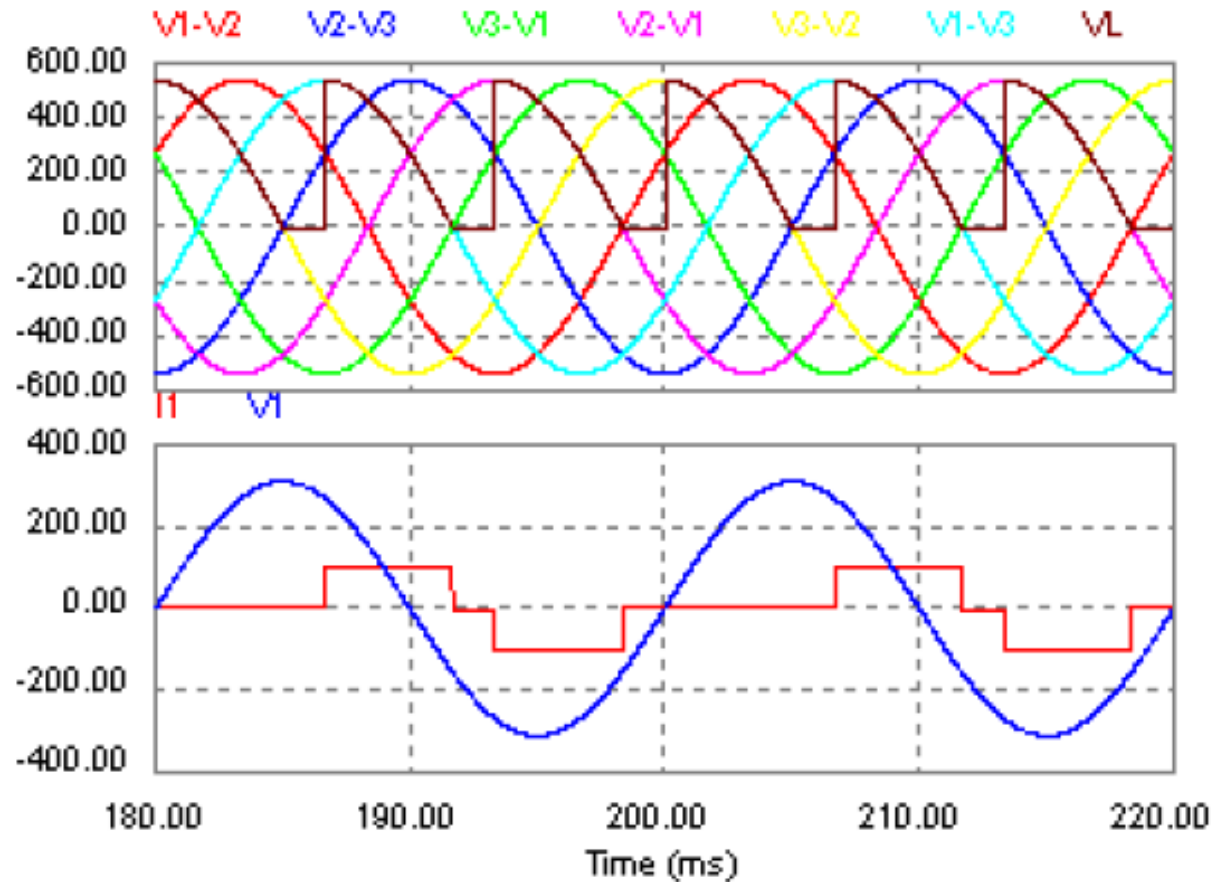
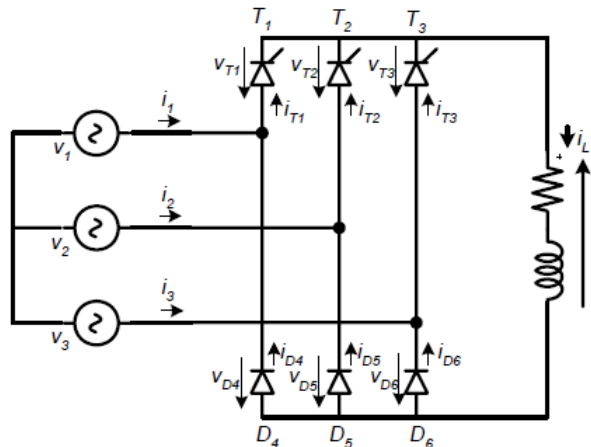
$I_L = 100\text{A}$
 $V_o = 380\text{V}_{\text{ef}}(\text{linha})$
 $f = 50\text{Hz}$
 $\alpha = 90^\circ$



Retificador Trifásico Semicontrolado, Carga RL

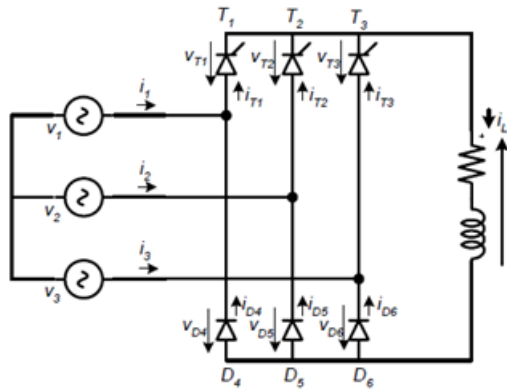
Formas de onda → condução contínua

$I_L = 100\text{A}$
 $V_o = 380\text{V}_{\text{ef}}(\text{linha})$
 $f = 50\text{Hz}$
 $\alpha = 90^\circ$



Retificador Trifásico Semicontrolado, Carga RL

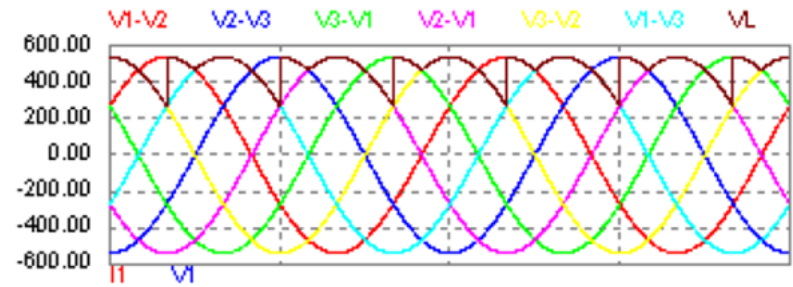
Tensão na carga



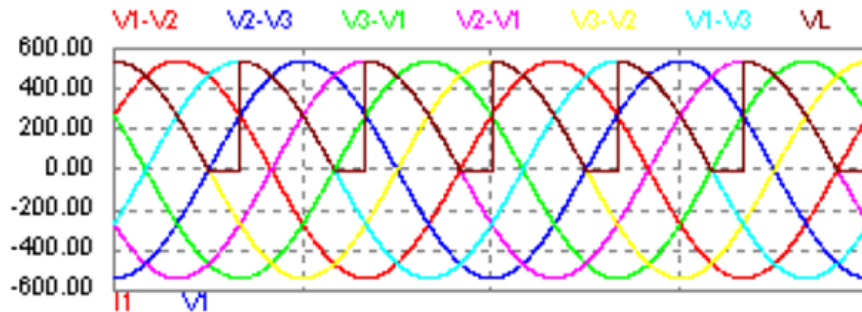
Médio

Para $\alpha < 60^\circ$

$$V_{LMED} = \frac{3}{2\pi} \int_{\frac{\pi}{3} + \alpha}^{\frac{2\pi}{3}} \sqrt{2}V_{OL} \cdot \sin(\omega t) \cdot d\omega t + \frac{3}{2\pi} \int_{\frac{\pi}{3}}^{\frac{2\pi}{3} + \alpha} \sqrt{2}V_{OL} \cdot \sin(\omega t) \cdot d\omega t$$



Para $\alpha > 60^\circ$

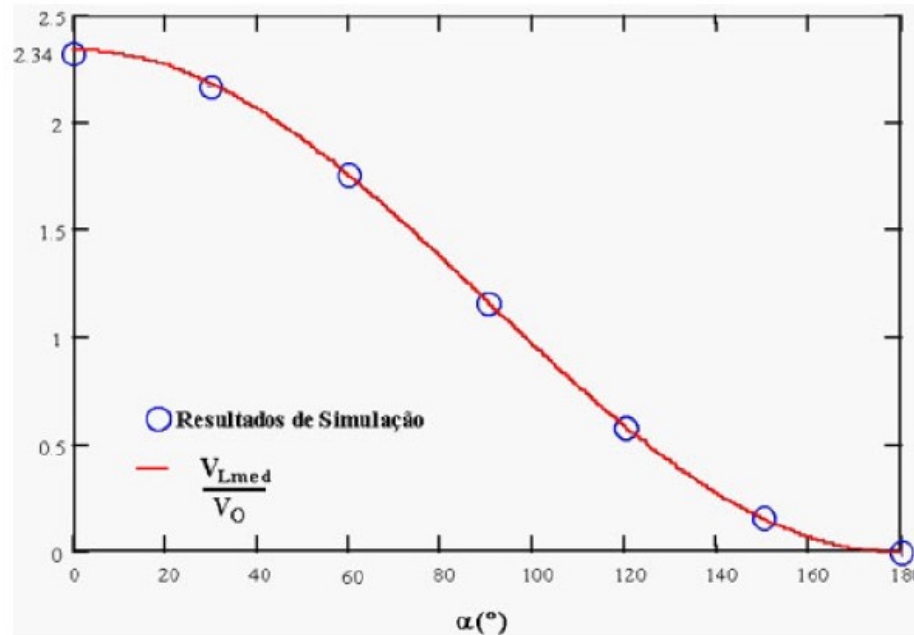


$$V_{LMED} = \frac{3}{2\pi} \int_{\alpha}^{\pi} \sqrt{2}V_{OL} \cdot \sin(\omega t) \cdot d\omega t$$

$$V_{LMED} = 0,675 \cdot V_{OL} [1 + \cos(\alpha)]$$

Retificador Trifásico Ponte Mista com Tiristor

Tensão média na carga



É comum o emprego de um diodo de circulação em paralelo com a carga. Com isto diminuem-se as correntes nos tiristores.

